

บทที่ 3

ผลการทดลอง

3.1 สรีระสมบัติของแบคทีเรียที่นำมาศึกษา

เนื่องจากสายพันธุ์ของแบคทีเรียที่จะเป็นต้นบทในการวิจัยนี้ได้รับจากการจำแนกจากนักวิจัยของกรมวิชาการเกษตรว่าเป็นเพียง Azotobacter spp. (เค็รชฐา, 2529) ในขั้นแรกจึงจำเป็นต้องศึกษา ชนิดและสมบัติการต้านยาปฏิชีวนะบางตัวซึ่งสอดคล้องกับเป้าประสงค์ของงานวิจัยนี้

ผลการทดลองสรุปได้ดังนี้

3.1.1 ลักษณะของโคโลนิ

จากแบคทีเรียทั้งหมด 17 สายพันธุ์ พบว่ามี Azotobacter spp. เพียง 2 สายพันธุ์เท่านั้นที่ไวต่อยาคานามัยซินและเตตราไซคลิน ครั้นเมื่อนำสายพันธุ์ทั้งสองมาเจริญในอาหารลู่ตรของ Burk ก็พบความแตกต่างในการสร้างรูปร่างของโคโลนิ มีสายพันธุ์หนึ่งให้เม็ดสี (pigment) สีน้ำตาลดำและเมือกมาก ต่อมาพบว่าสายพันธุ์ชนิดนี้คือ Azotobacter chroococcum และสายพันธุ์ชนิดที่โคโลนิมีเมือกน้อยกว่า คือ Azotobacter vinelandii (รูปที่ 3)

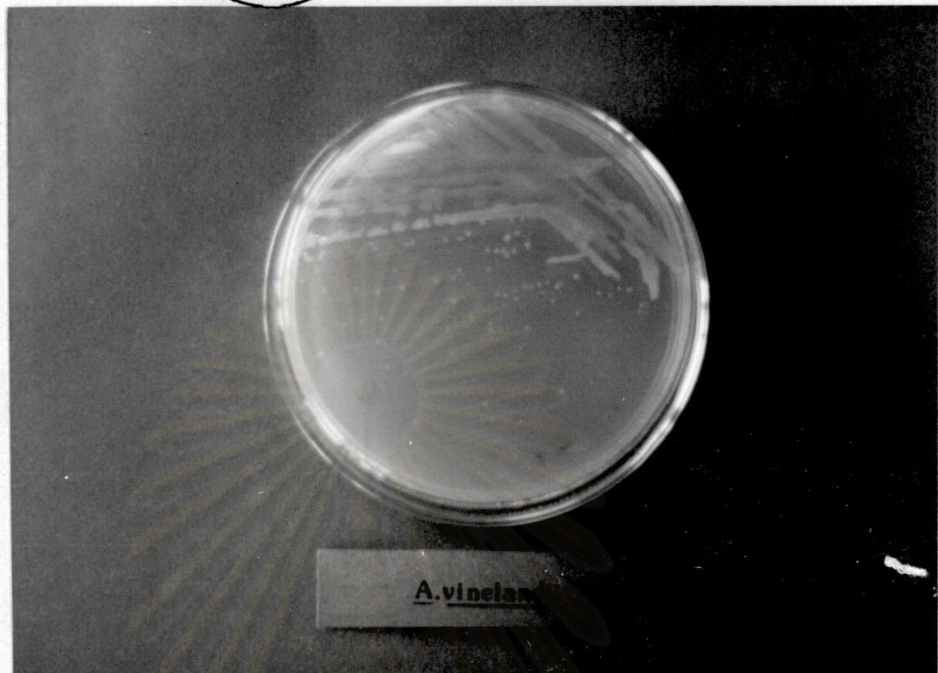
3.1.2 ความสามารถในการใช้สารต้นต่อคาร์บอน

น้ำตาลตัวแรกที่น่าสนใจทดสอบการจำแนกก็คือ Mannitol พบว่าในการเจริญในอาหารเหลวลู่ตรของ Burk ที่มี Mannitol 1% เป็นสารต้นต่อคาร์บอนและ Bromothymol blue เป็นสียี่น้ำ (pH indicator) เขย่าที่ 30 องศาเซลเซียส ด้วยความเร็ว 150 รอบต่อนาที Azotobacter ทั้งสองชนิดเจริญได้ (รูปที่ 4) โดยที่สายพันธุ์มีเมือกน้อยให้คัลเจอร์สีเขยว อีกสายพันธุ์หนึ่งให้สีเหลือง

จากการทดลองโดยนัยยะเดียวกันเพียงแต่ใช้ Rhamnose 1% เป็นสารต้นต่อคาร์บอน คราวนี้พบว่าสายพันธุ์ที่มีเมือกน้อยเท่านั้นที่เจริญคือสีของคัลเจอร์จะเปลี่ยนสีจาก



(3 ก.)

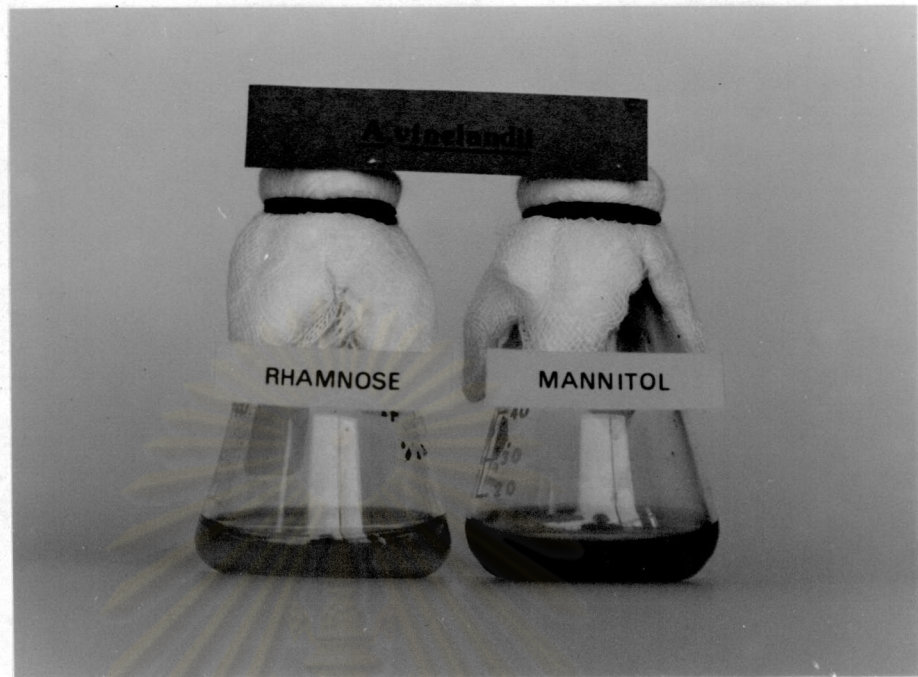


(3 ข.)

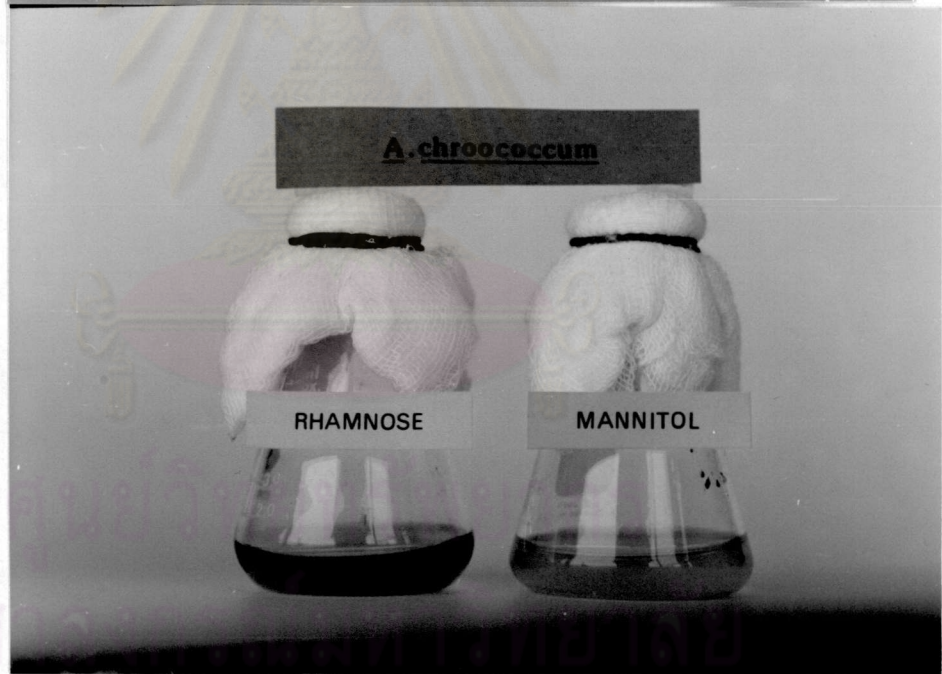


รูปที่ 3 ก. และ 3 ข. ลักษณะโคโลนีของ Azotobacter vinelandii และ Azotobacter chroococcum ซึ่งปลูกบนอาหารสูตร Burk บ่มที่ 30 องศาเซลเซียส 2 วัน

(4 ก.)



(4 ข.)



รูปที่ 4 สีสของคัลเจอร์ของ A. vinelandii และ A. chroococcum ที่เจริญในอาหารลู่ตร Burk ที่มี 1% Rhamnose หรือ 1% Mannitol เป็นสารต้นตอคาร์บอน เขย่าที่ 30 องศาเซลเซียส ด้วยความเร็ว 150 รอบต่อนาที 2 วัน (4 ก.) A. vinelandii (4 ข.) A. chroococcum

สีฟ้าอมเขียวเป็นสีเหลืองและมีเซลล์ให้เห็นชัดเจนด้วยส่ายตา (รูปที่ 4)

เมื่อลองเปลี่ยนสารตั้งต้นคาร์บอนเป็นน้ำแป้ง และสังเกตการเจริญบนอาหารแข็งที่มีน้ำแป้งเป็นสารตั้งต้นคาร์บอน คราวนี้เฉพาะส่ายพันธุ์ที่มีเมือกมากและให้เม็ดสีน้ำตาลดำเจริญได้ ซึ่งทดสอบให้เด่นชัดขึ้นโดยการนำสารละลายไอโอดีนในโพรแตสเซียมไอโอดेटเทรคกับจะเห็นสีขาวเด่นชัดขึ้นเฉพาะในส่ายพันธุ์ที่มีเม็ดสีเท่านั้น (รูปที่ 5) ผลการทดลองทั้งหมดสรุปรวมได้ในตารางที่ 4 และดังนั้นจึงสรุปว่า ส่ายพันธุ์ที่จะนำมาวิจัย ณ ที่นี้ 2 ชนิดคือ ชนิดที่เป็น Azotobacter chroococcum และชนิดที่เป็น Azotobacter vinelandii

3.1.3 ความไวต่อยาปฏิชีวนะ

เนื่องจากวัตถุประสงค์ของการวิจัยต้องการเคลื่อนพลาสมิด pCK3 ซึ่งเป็นพลาสมิดพาหะชนิดที่มีเป็นเครื่องหมาย คืออินต่านยาเตรทตราซัยคลินและคานามัยซิน ดังนั้นในขั้นแรกจะต้องทดสอบหาความเข้มข้นต่ำที่สุดของยาปฏิชีวนะทั้งสองที่สามารถระงับการเจริญของ Azotobacter ทั้งสองชนิดอย่างสิ้นเชิง จากการกระจายเซลล์ 10^7 เซลล์บนจานอาหารสูตรของ Bunk ที่มีกลูโคสเป็นสารตั้งต้นคาร์บอนและเสริมด้วยยาปฏิชีวนะเตรทตราซัยคลิน 5 ไมโครกรัมต่อมิลลิลิตร กับคานามัยซิน 50 นาโนกรัมต่อมิลลิลิตร พบว่าด้วยความเข้มข้นดังกล่าวสามารถระงับการเจริญของ A. vinelandii และ A. chroococcum ได้ (ตารางที่ 5)

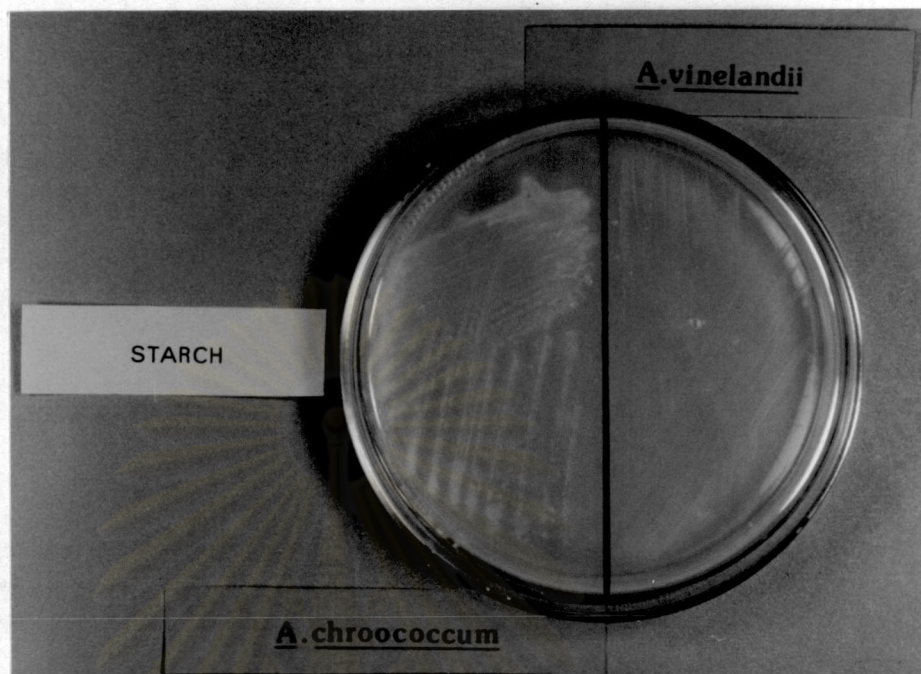
3.1.4 รูปแบบการตรึงไนโตรเจน

เพื่อที่จะศึกษาความสัมพันธ์ของการเจริญเติบโตและแอกติวิตีของ เอนไซม์ไนโตรจีเนส ซึ่งได้ติดตามความเข้มข้นของอัลเจอร์ จำนวนเซลล์ที่มีชีวิต และแอกติวิตีของอะเชกิสไนตรัตคัยน (ARA) ในอาหารที่มีและไม่มีสารตั้งต้นไนโตรเจน ผลการทดลองสรุปรวมในรูปที่ 6 - 9

ก. ในอาหารที่ไม่มีสารตั้งต้นไนโตรเจน

A. vinelandii สามารถเจริญในอาหารที่ไม่มีสารตั้งต้นไนโตรเจนได้ความเข้มข้นสูงสุดเป็น 170 Klett unit ในระยะต้นของการเจริญค่า ARA เพิ่มขึ้นตาม

(5 ก.)



(5 ข.)



รูปที่ 5

ความสามารถในการใช้แป้งเป็นสารตั้งต้นของ A. vinelandii และ A. chroococcum สตรีคบนอาหารลูตอร์ Burk ที่มี 1% น้ำแป้ง เป็นสารตั้งต้นคาร์บอน (5 ก.) การเจริญของแบคทีเรียทั้งสอง บ่มที่ 30 องศาเซลเซียส 2 วัน (5 ข.) นำเพลท (5 ก.) มาหยดสารละลายไอโอดีน จะเห็นสีน้ำเงินเข้มในบริเวณที่มีแป้ง ส่วนบริเวณที่ A. chroococcum เจริญอยู่ไม่เกิดสีเนื่องจากแป้งในบริเวณนั้นได้ถูกนำไปใช้

ตารางที่ 4 ความสามารถในการใช้สารตั้งต้นคาร์บอนของ Azotobacter vinelandii และ Azotobacter chroococcum เพื่อการเจริญเติบโต

ชนิดของแบคทีเรีย	ชนิดของสารตั้งต้นคาร์บอน		
	แป้ง (1)	Mannitol (2)	Rhamnose (2)
<u>A. vinelandii</u>	ไม่เจริญ	เจริญ	เจริญ
<u>A. chroococcum</u>	เจริญ	เจริญ	ไม่เจริญ

(1) เป็นผลลัรูปจากรูปที่ 4

(2) เป็นผลลัรูปจากรูปที่ 5

ศูนย์วิทยทรัพยากร
จุฬาลงกรณ์มหาวิทยาลัย

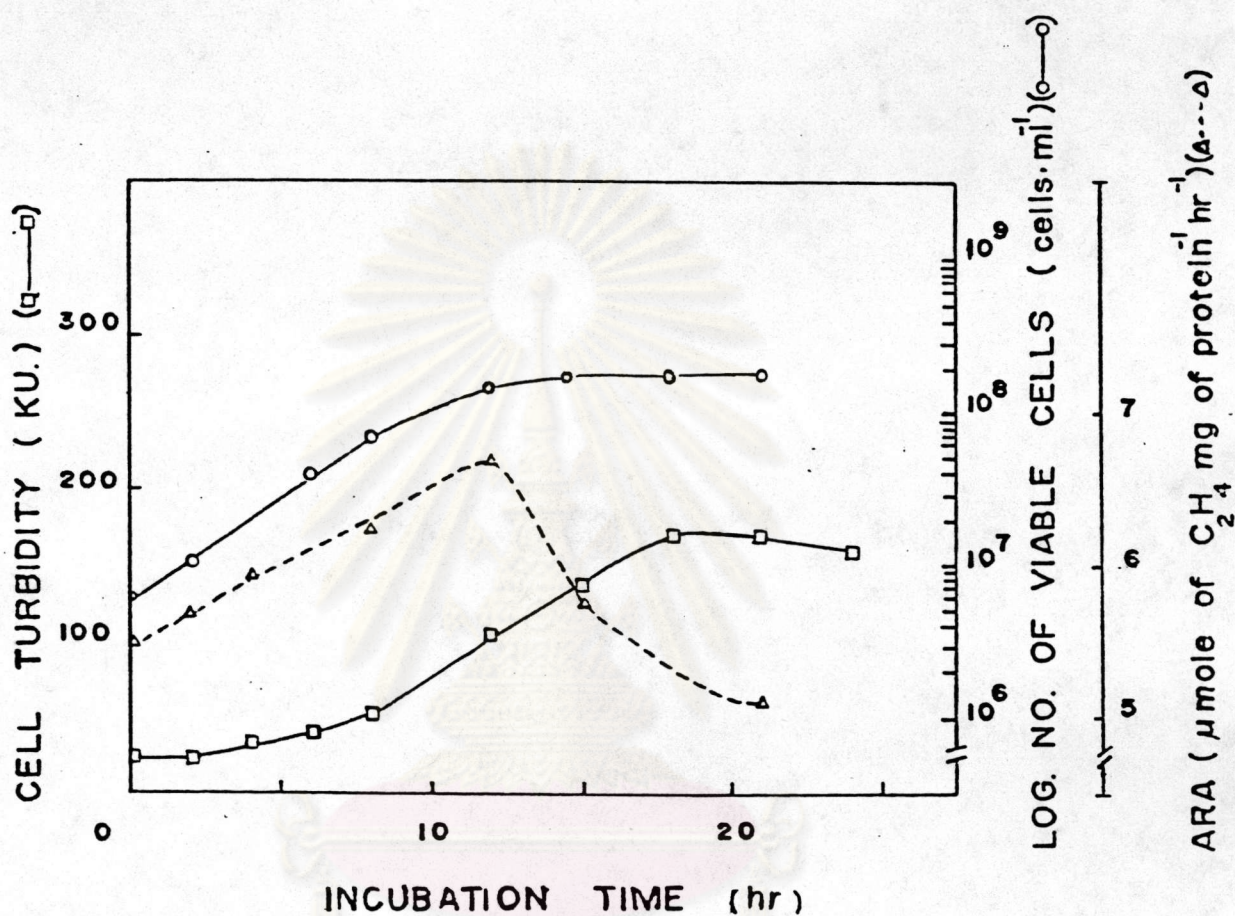
ตารางที่ 5 ความไวของ A. vinelandii และ A. chroococcum ต่อยาปฏิชีวนะ

ชนิดของแบคทีเรีย	จำนวนโคโลนีที่เจริญได้ในอาหารที่ไม่มียาปฏิชีวนะ (1)	จำนวนโคโลนีที่เจริญได้ในอาหารที่มีเตรทตราซัยคลินเข้มข้น 5 $\mu\text{g.ml}^{-1}$ (2)	จำนวนโคโลนีที่เจริญได้ในอาหารที่มีคานามัยซินเข้มข้น 50 ng.ml^{-1} (2)
<u>A. vinelandii</u>	1×10^7	0	0
<u>A. chroococcum</u>	1×10^7	0	0

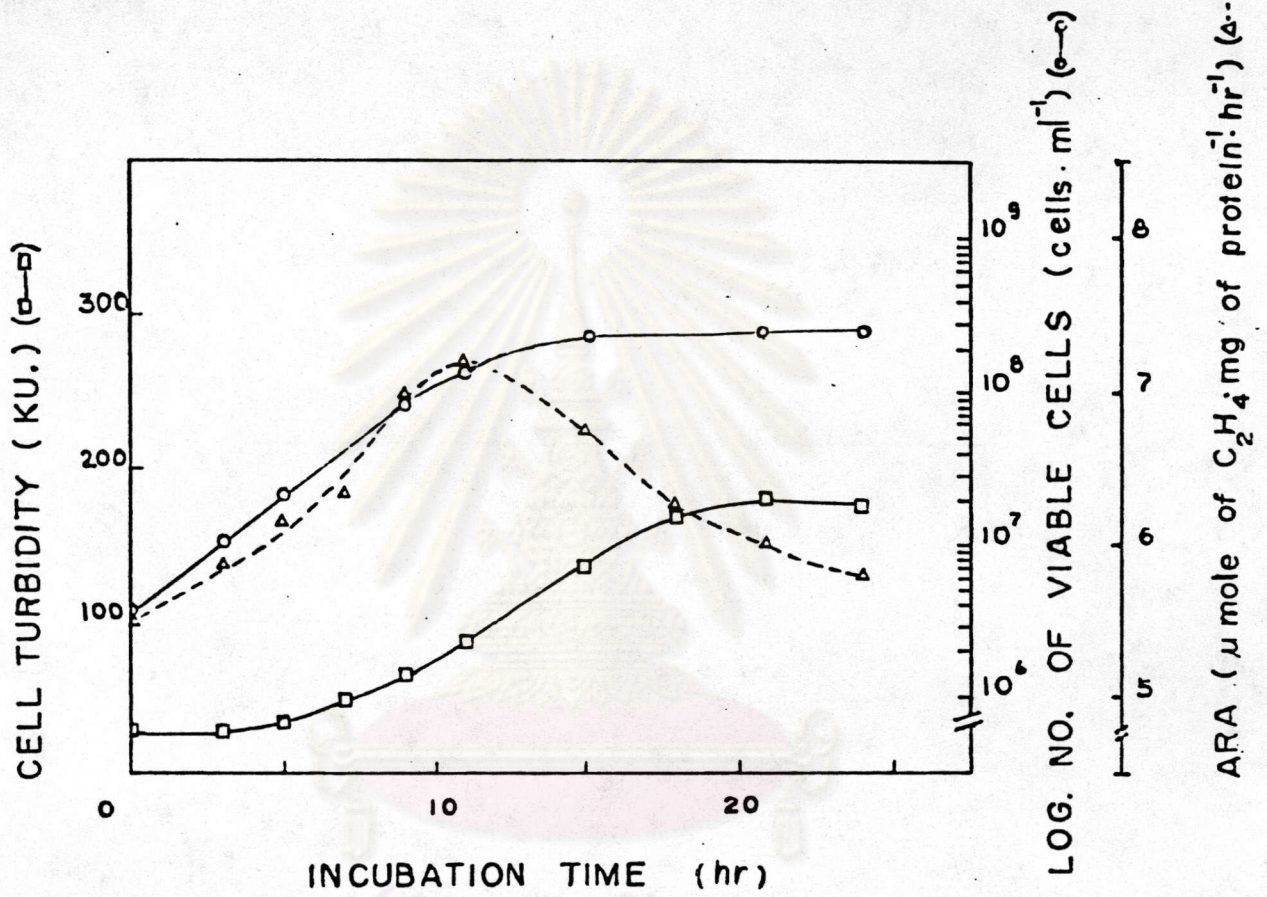
(1) กระจายเซลล์ประมาณ 1×10^7 เซลล์บนจานอาหารที่ไม่มียาปฏิชีวนะ บ่มที่ 30°C. 2 วัน

(2) กระจายเซลล์ประมาณ 1×10^7 เซลล์บนจานอาหารที่เสริมด้วยยาปฏิชีวนะความเข้มข้นตามที่ระบุไว้ บ่มที่ 30°C. 2 วัน

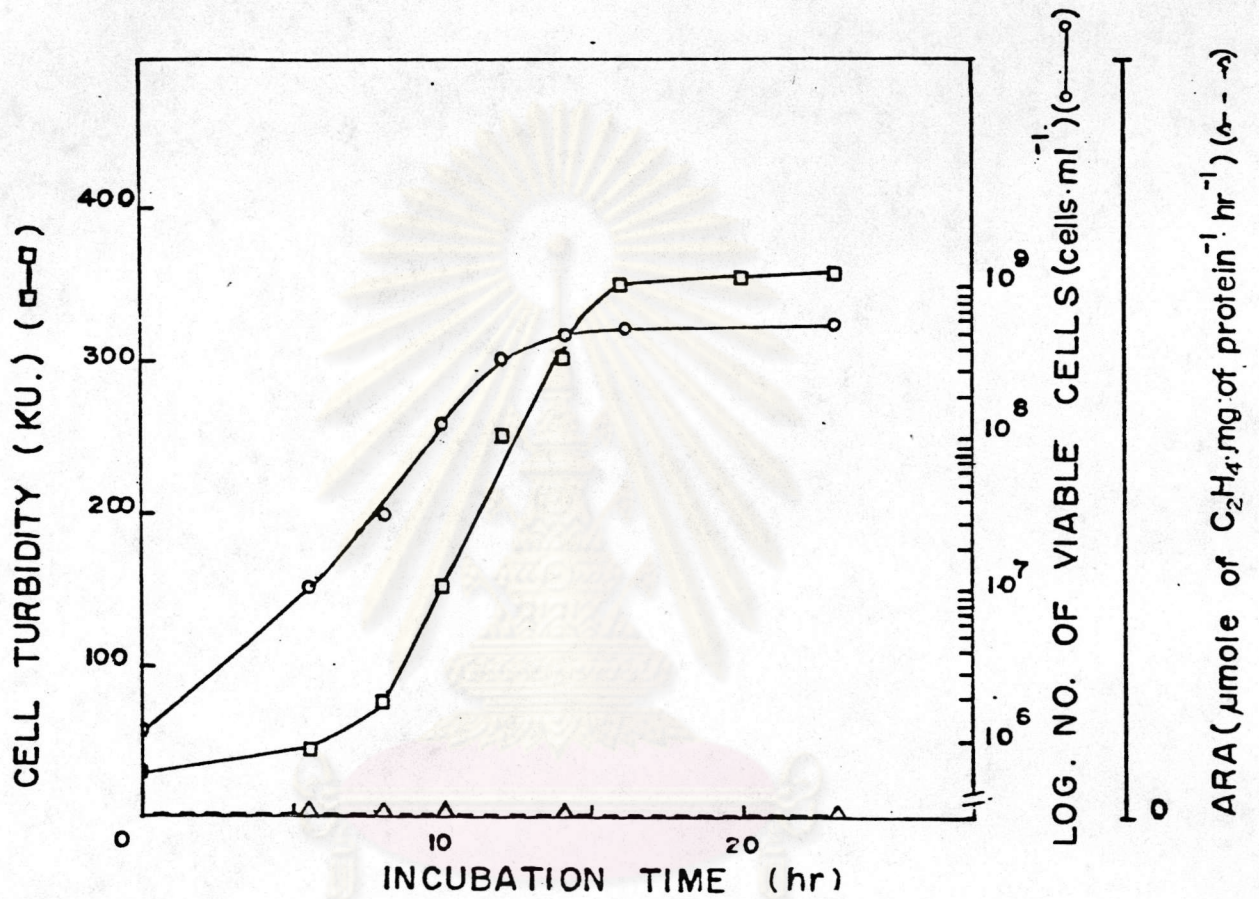
ศูนย์วิทยทรัพยากร
จุฬาลงกรณ์มหาวิทยาลัย



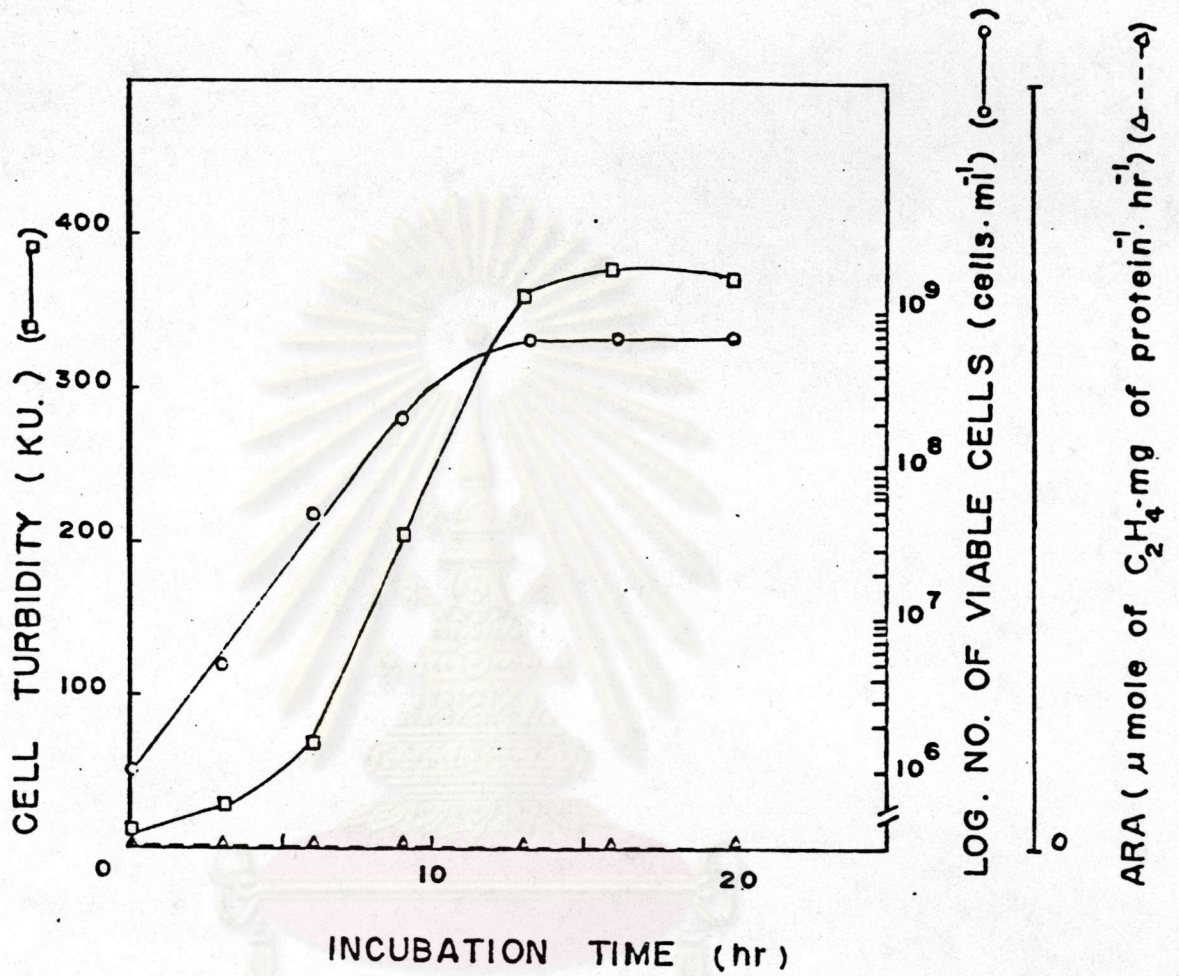
รูปที่ 6 รูปแบบของความขุ่น จำนวนเซลล์ที่มีชีวิต และแอกติวิตีจำเพาะของอะเซทิลซิน-
 ไรต์ซินของ *A. vinelandii* ในอาหารที่ปราศจากสารต้นตอไนโตรเจนและ
 มี 1% กลูโคสเป็นสารต้นตอคาร์บอนอน เขย่าที่ 30 องศาเซลเซียส ด้วยความ
 เร็ว 150 รอบต่อนาที



รูปที่ 7 รูปแบบของความขุ่น จำนวนเซลล์ที่มีชีวิต และแอกติวิตีจำเพาะของอะเซทิลสังเคราะห์ของ *A. chroococcum* ในอาหารที่ปราศจากสารต้นตอไนโตรเจน และมี 1% กลูโคสเป็นสารต้นตอคาร์บอน เขย่าที่ 30 องศาเซลเซียส ด้วยความเร็ว 150 รอบต่อนาที



รูปที่ 8 รูปแบบของความขุ่น จำนวนเซลล์ที่มีชีวิต และแอกติวิตีจำเพาะของอะเซทิลลิ-
 รัตคีนของ *A. vinelandii* ในอาหารที่มี Ammonium acetate 15 mM เป็น
 สารต้นตอไนโตรเจน และ 1% กลูโคสเป็นสารต้นตอคาร์บอน เขย่าที่ 30 องศา-
 เซลเซียส ด้วยความเร็ว 150 รอบต่อนาที



รูปที่ 9 รูปแบบของความยุ่น จำนวนเซลล์ที่มีชีวิต และแอกติวิตีจำเพาะของอะเซทิลซิน-
 รัดคัยนของ *A. chroococcum* ในอาหารที่มี Ammonium acetate 15 mM
 เป็นสารต้นตอไนโตรเจน และ 1% กลูโคสเป็นสารต้นตอคาร์บอน เขย่าที่ 30
 องศาเซลเซียส ด้วยความเร็ว 150 รอบต่อนาที

ความขุ่นของคัลเจอร์และมีความสูงที่สุดในช่วงการเจริญระยะการแบ่งตัวทวีคูณเท่ากับ 6.7 ไมโครโมลของเอทิลีนต่อมิลลิกรัมโปรตีนต่อชั่วโมง ต่อจากนั้นค่า ARA กลับลดลงเมื่อความขุ่นของคัลเจอร์เพิ่มขึ้น มีจำนวนเซลล์ที่มีชีวิตสูงสุด 2×10^8 เซลล์ต่อมิลลิลิตร (รูปที่ 6)

ในทำนองเดียวกัน A. chroococcum ก็สามารถเจริญได้ในอาหารที่ไม่มีสารต้นตอไนโตรเจน โดยมีความขุ่นสูงสุดเป็น 180 Klett unit ARA เพิ่มขึ้นตามความขุ่นของคัลเจอร์จนมีความสูงที่สุด 7.2 ไมโครโมลของเอทิลีนต่อมิลลิกรัมโปรตีนต่อชั่วโมงในระยะการแบ่งตัวทวีคูณแล้วกลับลดลง ซึ่งเป็นรูปแบบเดียวกับใน A. vinelandii และมีความขุ่นเซลล์ที่มีชีวิตมีความสูงที่สุด 3×10^8 เซลล์ต่อมิลลิลิตร (รูปที่ 7)

ข. ในอาหารที่มีสารต้นตอไนโตรเจน

Azotobacter ทั้งสองชนิดสามารถเจริญได้ในอาหารที่มี Ammonium acetate 15 มิลลิโมลาร์เป็นสารต้นตอไนโตรเจน และไม่ให้ค่า ARA ตลอดระยะการเจริญ

A. vinelandii มีความขุ่นสูงสุดเป็น 360 Klett unit และมีความขุ่นเซลล์ที่มีชีวิตสูงสุดเท่ากับ 6×10^8 เซลล์ต่อมิลลิลิตร (รูปที่ 8) สำหรับ A. chroococcum มีความขุ่นสูงสุดเป็น 380 Klett unit และมีความขุ่นเซลล์ที่มีชีวิตสูงสุดเท่ากับ 7×10^8 เซลล์ต่อมิลลิลิตร (รูปที่ 9) และพบว่า Doubling time ของ Azotobacter ทั้งสองชนิดในอาหารที่ไม่มีสารต้นตอไนโตรเจนมีค่าเท่ากัน สำหรับในอาหารที่มีสารต้นตอไนโตรเจนนั้น Doubling time ของ A. vinelandii มีค่ามากกว่า A. chroococcum เล็กน้อย (ตารางที่ 6) น่าสังเกตว่าจำนวนเซลล์สูงสุดที่พบในอาหารที่ไม่มีสารต้นตอไนโตรเจนจะน้อยกว่าในอาหารที่มีสารต้นตอไนโตรเจน และ Azotobacter ทั้งสองชนิดมีความสามารถในการตรึงไนโตรเจนได้เท่า ๆ กัน

3.2 สมบัติของพลาสมิด pCK3

pCK3 เป็นพลาสมิดพหุหน้าที่ของ pRK 290 ที่มียีน nif A จาก Klebsiella pneumoniae ยีนต้านยาเตรทตราไซคลิกและคานามัยซินอยู่ด้วย การถอดรหัสของยีน nif A จะส่งผลต่อการถอดรหัสของยีนต้านยาคานามัยซิน กล่าวคือ ถ้าไม่มีการถอดรหัสของยีน nif A

ตารางที่ 6 ลักษณะการเจริญของ A. vinelandii และ A. chroococcum (1)

ชนิดของอาหารและชื่อสายพันธุ์	Doubling Time (2) (hr.)	จำนวนเซลล์ที่มีชีวิตสูงสุด (cell.ml ⁻¹)	แอกติวิตีจำเพาะสูงสุดของอะเซทิลีนรีดักชัน ($\mu\text{mole of C}_2\text{H}_4$ mg of protein. ⁻¹ hr. ⁻¹)
อาหารที่ไม่มีสารต้นตอไนโตรเจน			
<u>A. vinelandii</u>	3.30	2×10^8	6.7
<u>A. chroococcum</u>	3.30	3×10^8	7.2
อาหารที่มีสารต้นตอไนโตรเจน			
<u>A. vinelandii</u>	2.15	6×10^8	0.0
<u>A. chroococcum</u>	2.00	7×10^8	0.0

(1) เป็นผลสรุปจากรูปที่ 6 - 9

(2) ค่าของ Doubling time คำนวณได้จากจำนวนเซลล์ที่มีชีวิต

ศูนย์วิทยทรัพยากร
จุฬาลงกรณ์มหาวิทยาลัย

ก็จะไม่มีการถอดรหัสของยีนต้านยาต้านมาัยซินด้วย พลาสมิด pCK3 มีขนาด 27 kb มีตำแหน่งตัดสำหรับ Restriction enzyme ที่ชื่อว่า EcoRI และ Sali ดังรูปที่ 10 เพื่อทดสอบว่าพลาสมิดที่แยกมาศึกษาเป็น pCK3 จริงจึงได้ลองนำมาตัดด้วย EcoRI และ Sali พบว่าหลังจากย่อย pCK3 โดยลัมบิรณั้แยกต่างหากจากกันจะพบชิ้นดีเอ็นเอ ปลายเปิดขนาด 27 kb แต่ถ้าย่อยด้วย EcoRI และ Sali ร่วมกันอย่างลัมบิรณั้จะได้ชิ้นดีเอ็นเอขนาด 19 และ 8 kb ตามลำดับ (รูปที่ 11)

3.3 การสร้างทรานส์ฟอร์มแมนที่มีพลาสมิด pCK3

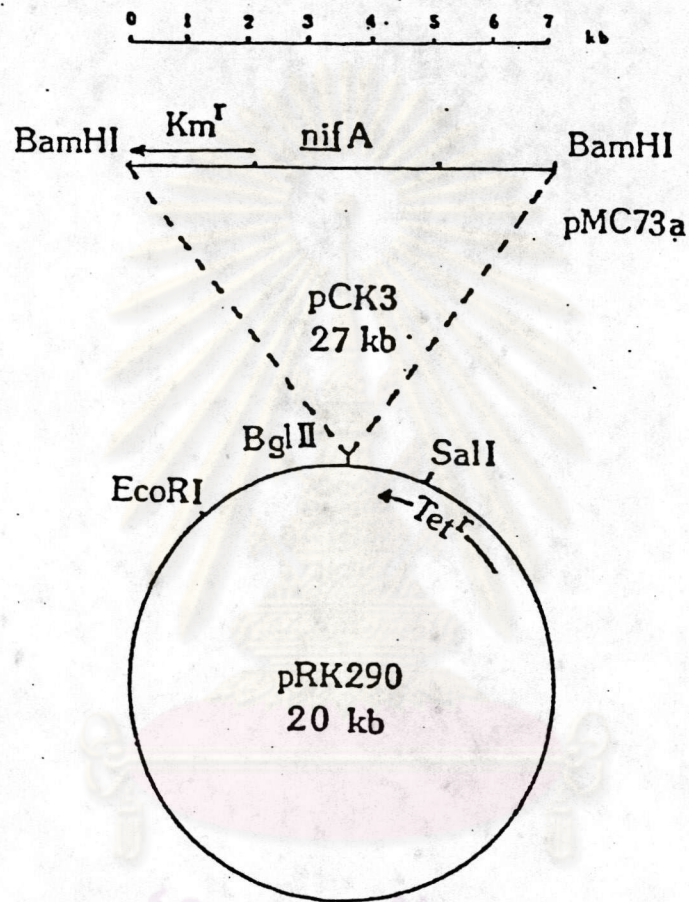
ได้เคลื่อน pCK3 เข้าสู่เซลล์ของ Azotobacter ด้วยวิธีการทรานส์ฟอร์มเมชัน ขั้นตอนในการเตรียม Competent cells ทำโดยเจริญ Azotobacter ใน TF medium ซึ่ง เป็นอาหารที่ขาดอิออนเหล็ก

3.3.1 ผลของอิออนเหล็กต่อการเจริญของแบคทีเรีย

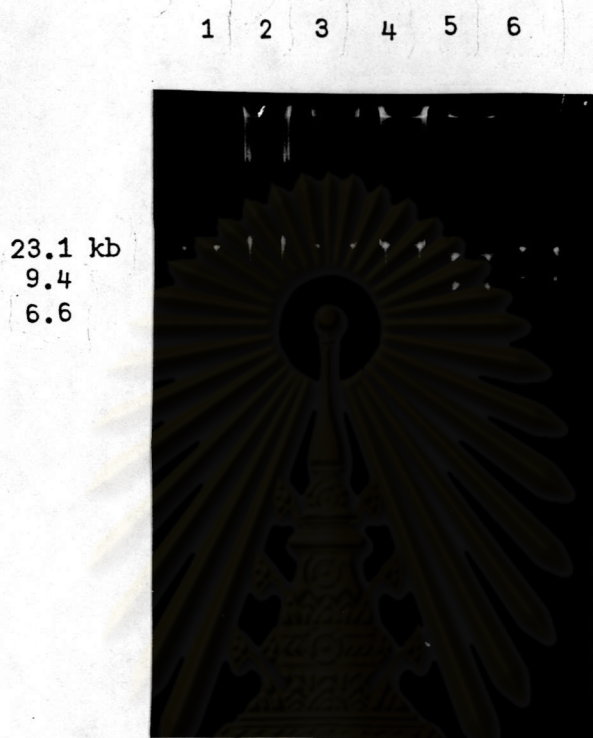
จากการเปรียบเทียบการเจริญของ Azotobacter ใน TF medium และ TF medium ที่เสริม Ferrous sulfate 18 มิลลิโมลาร์ ไม่พบความแตกต่างในรูปแบบของการเจริญแต่อย่างใด (รูปที่ 12)

3.3.2 ประสิทธิภาพของการทรานส์ฟอร์มเมชัน

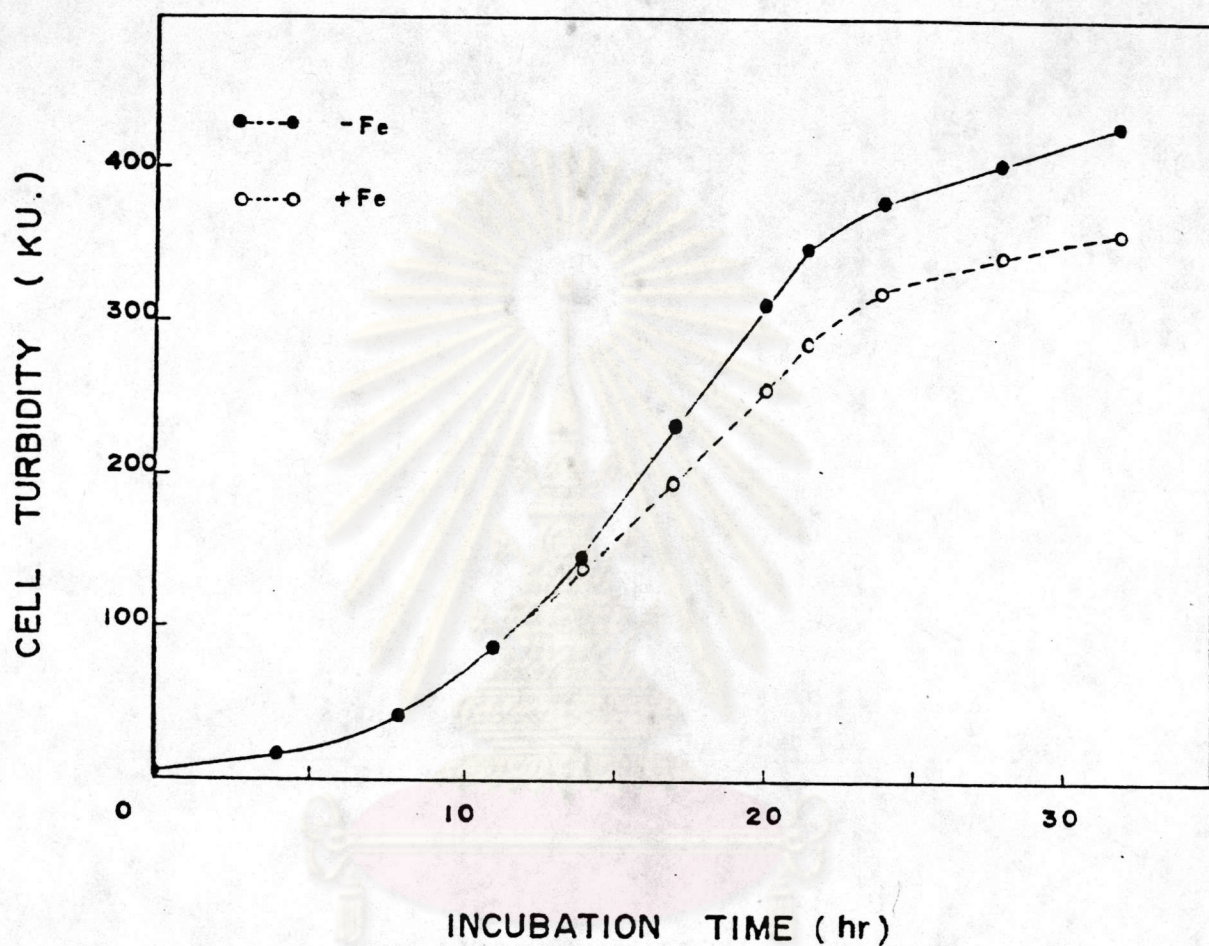
เมื่อทรานส์ฟอร์ม pCK3 เข้าสู่ Azotobacter ซึ่งเป็น Competent cells และคัดเลือกทรานส์ฟอร์มแมนที่บนอาหารแข็งที่เสริมด้วยยาปฏิชีวนะ 2 แบบ คือ เสริมด้วยเตตราซัยคลิน 5 ไมโครกรัมต่อมิลลิตรและคานาไมซิน 5 ไมโครกรัมต่อมิลลิตร และเสริมด้วยเตตราซัยคลิน 5 ไมโครกรัมต่อมิลลิตรเพียงอย่างเดียว พบว่ามีทรานส์ฟอร์มแมนที่ เกิดขึ้นบนอาหารแข็งที่เสริมด้วยเตตราซัยคลินเพียงอย่างเดียว . โดยมีประสิทธิภาพของการทรานส์ฟอร์มเมชันของ A. vinelandii และ A. chroococcum เท่ากับ 1.2×10^9 และ 2×10^7 เซลล์ต่อกรัมของพลาสมิด ตามลำดับ



รูปที่ 10 แผนผังเรสติคชั่นของพลาสมิด pCK3 ซึ่งเป็นอนุพันธ์ของพลาสมิด pRK290
 BamHI , BglII , EcoRI, SalI เป็น Restriction endonucleases
 Km^r และ Tet^r = สัมปติการทนทานต่อคานามัยซินและเตตราไซคลิน
 ตามลำดับ
nif A = ยีน nif A



- รูปที่ 11 ผลของการย่อยพลาสมิด ดีเอ็นเอ pCK3 ด้วยเอนไซม์ EcoRI และ SalI บน 0.6% Agarose gel electrophoresis
- ช่องที่ 1, 6 คือ Standard λ -DNA ซึ่งย่อยด้วย HindIII
- ช่องที่ 2 คือ พลาสมิด ดีเอ็นเอ pCK3
- ช่องที่ 3 คือ ยีนพลาสมิด ดีเอ็นเอ pCK3 ซึ่งย่อยด้วย EcoRI ได้ชิ้น
ขนาด 27 kb
- ช่องที่ 4 คือ ยีนพลาสมิด ดีเอ็นเอ pCK3 ซึ่งย่อยด้วย SalI ได้ชิ้น
ขนาด 27 kb
- ช่องที่ 5 คือ ยีนพลาสมิด ดีเอ็นเอ pCK3 ซึ่งย่อยด้วย EcoRI และ
SalI ได้ชิ้นขนาด 19 และ 8 kb



รูปที่ 12 รูปแบบของการเจริญของ *A. vinelandii* ใน TF medium (อาหารสูตรขาดอิออนเหล็ก) และ TF medium ที่เสริมด้วย Ferrous sulfate 18 mg เหย้าที่ 30 องศาเซลเซียส ด้วยความเร็ว 150 รอบต่อนาที

3.3.3 สมบัติของทรานส์ฟอร์มแมนท์ที่แยกได้

ก. ผลของยาปฏิชีวนะต่อการสร้างโคโลดี

เลือกทรานส์ฟอร์มแมนท์ที่ได้จาก Azotobacter ทั้งสองชนิดอย่างละ 25 ตัว ให้ชื่อว่า TF1(pCK3) TF25(pCK3) สำหรับ A. vinelandii และ TFC1(pCK3) TFC25(pCK3) สำหรับ A. chroococcum หลังจากนำมาทำให้ริลู่ท์และทดสอบความสามารถในการต้านยาปฏิชีวนะเทียบกับสายพันธุ์ WT ผลการทดลองสรุปในตารางที่ 7 รูปที่ 13 และ 14 กล่าวคือ ยึดจำกัดความเจริญของทรานส์ฟอร์มแมนท์ทุกตัวจะอยู่ที่การเสริมยาปฏิชีวนะเตรทตราซัยคลิน 5 ไมโครกรัมต่อมิลลิลิตรและคานามัยซิน 50 นาโนกรัมต่อมิลลิลิตร ตามลำดับ (ตารางที่ 7) เพื่อเป็นตัวอย่างผลการทดลองจึงได้ถ่ายภาพลักษณะการเจริญของทรานส์ฟอร์มแมนท์บางตัวมาแสดงไว้ (รูปที่ 13, 14)

นอกจากนี้ยังได้ลุ่มทรานส์ฟอร์มแมนท์บางตัวมาสกัดเวลาสมิตพาหะ pCK3 ผลการทดลองแสดงในรูปที่ 13 ซึ่งพบว่าทรานส์ฟอร์มแมนท์ทุกตัวจะให้พลาสมิดขนาด 27 kb (รูปที่ 15)

ข. การตรึงไนโตรเจนในสภาพอิสระ

เพื่อทดสอบความสามารถในการถดถอยของเอนไซม์ไนโตรจีเนสเมื่อมีและไม่มีสารต้นตอไนโตรเจน จึงได้นำเซลล์ของ Azotobacter ทั้งสองชนิดมาทดสอบหาค่า ARA ผลการทดลองสรุปในตารางที่ 8

ในอาหารที่ปราศจากสารต้นตอไนโตรเจน ทรานส์ฟอร์มแมนท์ของ Azotobacter ทั้งสองชนิดจะให้ค่า ARA ที่ต่ำกว่า WT เล็กน้อย คืออยู่ในช่วง 200 - 300 นาโนโมลของ เอทิลีนต่อมิลลิกรัมโปรตีนต่อชั่วโมงสำหรับทรานส์ฟอร์มแมนท์ของ A. vinelandii และ 230 - 320 นาโนโมลของ เอทิลีนต่อมิลลิกรัมโปรตีนต่อชั่วโมงสำหรับทรานส์ฟอร์มแมนท์ของ A. chroococcum สำหรับ WT ของ A. vinelandii และ A. chroococcum มีค่า ARA เท่ากับ 325 และ 336 นาโนโมลของ เอทิลีนต่อมิลลิกรัมโปรตีนต่อชั่วโมง ตามลำดับ แต่ในอาหารที่เสริมด้วย Ammonium acetate 15 มิลลิโมลาร์ค่า ARA ของ WT ไม่ปรากฏหรือคือเท่ากับศูนย์ในขณะที่ทรานส์ฟอร์มแมนท์ทุกสายพันธุ์ของ Azotobacter ทั้งสองชนิดจะให้ค่าประมาณ 30 - 60 นาโนโมลของ เอทิลีนต่อมิลลิกรัมโปรตีนต่อชั่วโมง น่าสังเกตว่าค่า ARA ที่ได้จากสายพันธุ์ทรานส์ฟอร์มแมนท์ทั้งหมด

ตารางที่ 7 ความไวของ *Azotobacter* spp. WT และทรานส์ฟอร์มเม้นต์ต่อยาปฏิชีวนะเตตราไซคลิน และคานามัยซิน (1)

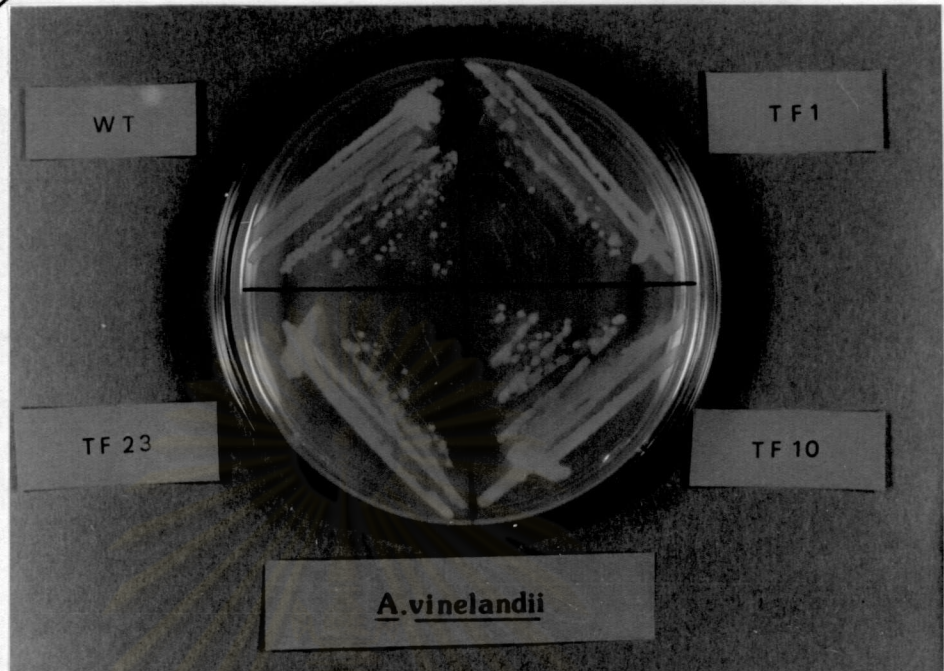
ชื่อสายพันธุ์	การเจริญในอาหารที่มีเตตราไซคลินเข้มข้น $5 \mu\text{g} \cdot \text{ml}^{-1}$	การเจริญในอาหารที่มีคานามัยซินเข้มข้น $50 \text{ ng} \cdot \text{ml}^{-1}$
<u>A. vinelandii</u>		
WT	ไม่เจริญ	ไม่เจริญ
TF1 (pCK3) ... TF25 (pCK3)	เจริญ	เจริญ
<u>A. chroococcum</u>		
WT	ไม่เจริญ	ไม่เจริญ
TF1 (pCK3) ... TF25 (pCK3)	เจริญ	เจริญ

(1) เลือกทรานส์ฟอร์มเม้นต์บางสายพันธุ์ ถ่ายภาพแสดงการเปรียบเทียบกับรูปที่ 13 และ 14

ศูนย์วิจัยทรัพยากร
จุฬาลงกรณ์มหาวิทยาลัย



(13 ก.)



(13 ข.)



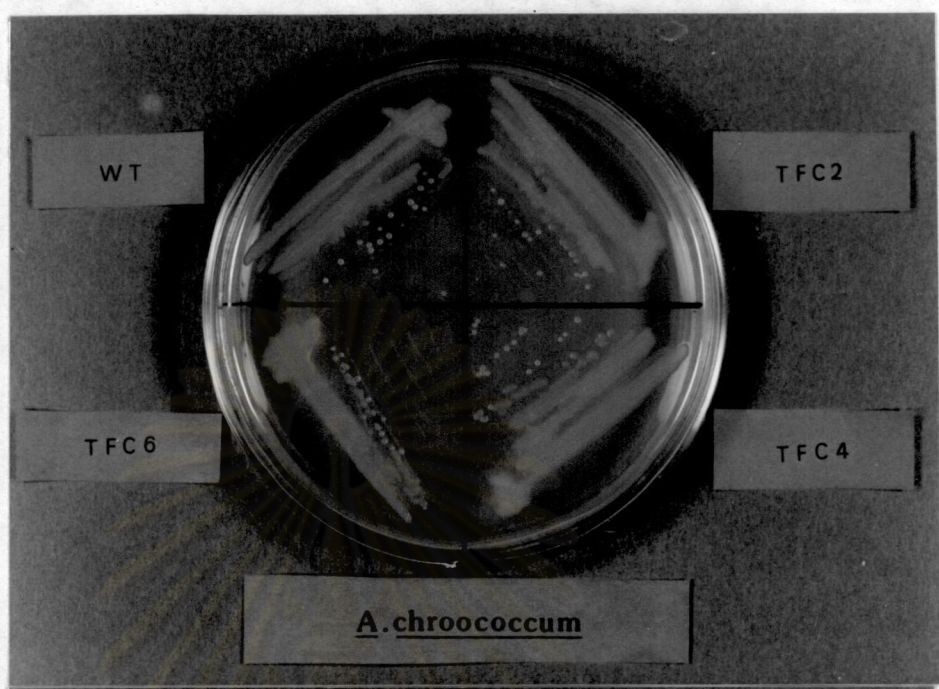
รูปที่ 13 เปรียบเทียบการทนทานต่อยาปฏิชีวนะของ A. vinelandii WT และทรานส์ฟอร์แมนท์ (13 ก.) ไม่มียาปฏิชีวนะ (13 ข.) มีเตรคตราซัยคลินเข้มข้น $5 \mu\text{g.ml}^{-1}$ และคานามัยซินเข้มข้น 50 ng.ml^{-1}

WT = Wild Type

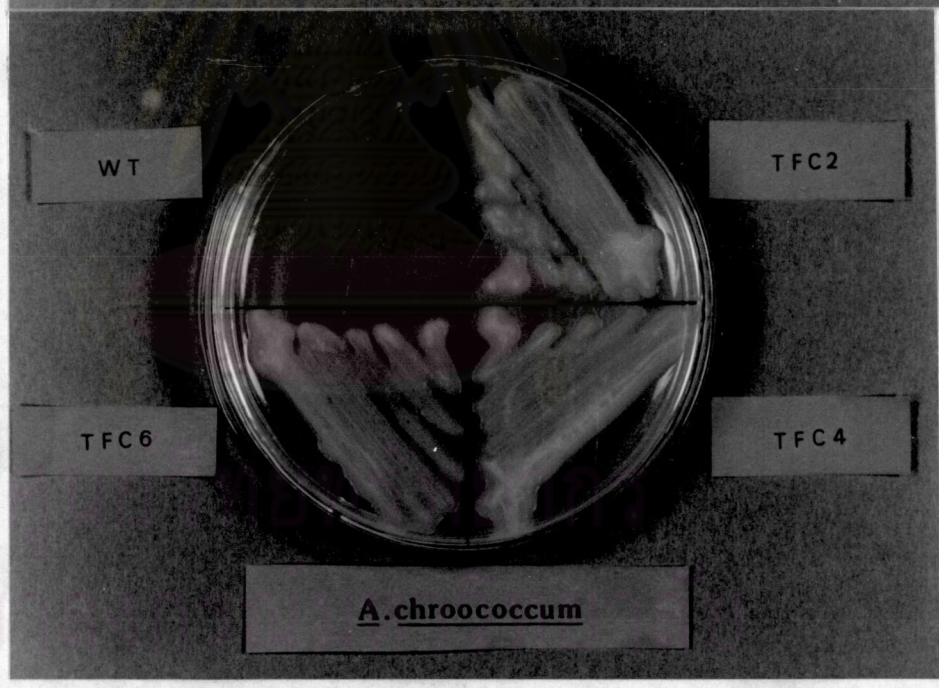
TF1, TF10 และ TF23 = ทรานส์ฟอร์แมนท์ของ A. vinelandii

(ได้จากการนำพลาสมิด pCK3 เข้าเซลล์)

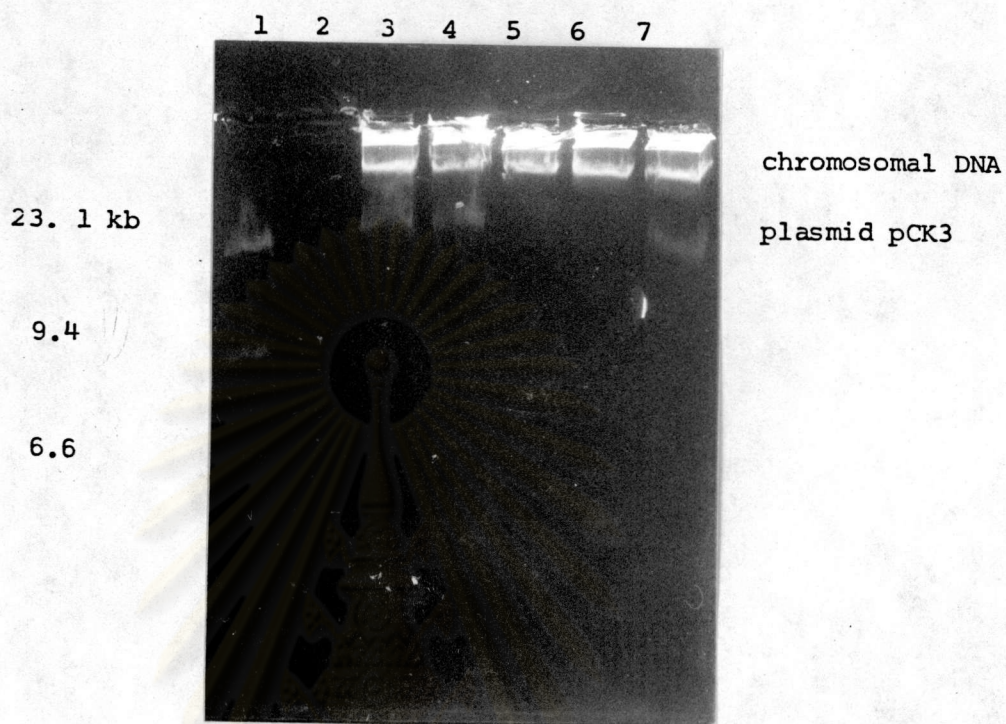
(14 ก.)



(14 ข.)



รูปที่ 14 เปรียบเทียบการทนทานต่อยาปฏิชีวนะของ A. chroococcum WT และ
 ทรานส์ฟอร์มเม้นท์ (14 ก.) ไม่มียาปฏิชีวนะ (14 ข.) มีเตรทตราซัยคลิน
 เข้มข้น $5 \mu\text{g} \cdot \text{ml}^{-1}$ และคานามัยซินเข้มข้น $50 \text{ ng} \cdot \text{ml}^{-1}$
 WT = Wild Type
 TFC2, TFC4 และ TFC6 = ทรานส์ฟอร์มเม้นท์ของ A. chroococcum
 (ได้จากการนำพลาสมิด pCK3 เข้าเซลล์)



รูปที่ 15 การตรวจสอบพลาสมิดดีเอ็นเอของทรานส์ฟอร์มเม้นท์ของ Azotobacter โดยการทำให้เซลล์แตกขณะใช้เลคโตรโพรเซส

ช่องที่ 1 คือ Standard λ -DNA ซึ่งย่อยด้วย HindIII

ช่องที่ 2 คือ Standard λ -DNA

ช่องที่ 3 - 7 คือ Chromosomal DNA และพลาสมิด pCK3 ของทรานส์ฟอร์มเม้นท์ของ Azotobacter

ตารางที่ 8 ทดสอบ derepression ของ ARA ใน *Azotobacter* spp. WT และ
 ทรานส์พอร์แมนท์ ที่พัฒนาผลิตภัณฑ์ pCK3 (1)

ชื่อสายพันธุ์	ARA เมื่อเจริญอาหาร ที่ใส่สารตั้งต้นไนโตรเจน (n mole of C ₂ H ₄ . mg of protein ⁻¹ .hr ⁻¹)	ปริมาณโปรตีน (mg of protein . ml ⁻¹)	ARA เมื่อเจริญอาหาร ที่ใส่สารตั้งต้นไนโตรเจน (n mole of C ₂ H ₄ . mg of protein ⁻¹ .hr ⁻¹)	ปริมาณโปรตีน (mg of protein . ml ⁻¹)
A. vinelandii				
WT	0	0.090	325	0.045
TE6 (pCK3)	53	0.040	200	0.020
TF10 (pCK3)	47	0.047	230	0.023
TF14 (pCK3)	55	0.030	250	0.022
TF19 (pCK3)	60	0.045	200	0.015
TE23 (pCK3)	57	0.045	300	0.023
A. chroococcum				
WT	0	0.080	326	0.063
TF1 (pCK3)	54	0.083	240	0.070
TF2 (pCK3)	38	0.125	320	0.040
TF4 (pCK3)	49	0.081	250	0.033
TF10 (pCK3)	36	0.075	250	0.020
TF11 (pCK3)	33	0.068	230	0.025

(1) ทำการทดลองโดยแยกโคโลนีสจากจานแม่ลงในอาหารเหลว เขย่าที่ 30 องศาเซลเซียส ด้วยความถี่
 150 รอบต่อนาที เมื่อเริ่มมีการเจริญเติบโตจึงนำไปวัดค่า ARA

ไม่แตกต่างกันอย่างมีนัยสำคัญ ด้วยเหตุนี้จึงได้เลือก TF23(pCK3) เป็นตัวแทนศึกษาความสัมพันธ์ระหว่างรูปแบบการเจริญกับ ARA ในช่วงเวลาต่าง ๆ กัน

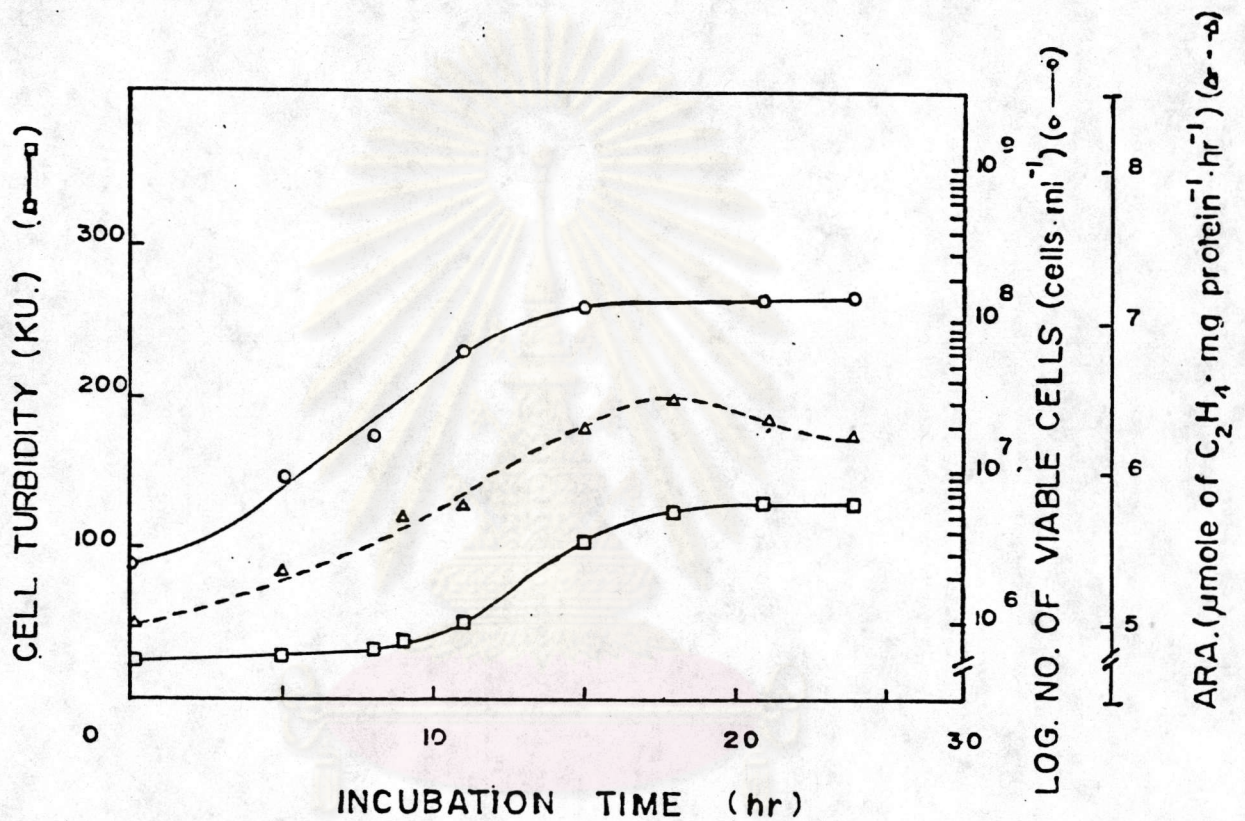
ค. รูปแบบการตรึงไนโตรเจนของทรานส์ฟอร์มแมนท์ที่มีพลาสมิด pCK3

รูปที่ 16 เป็นความสัมพันธ์ของปัจจัยต่าง ๆ ที่ได้จากการเจริญของ A. vinelandii TF23(pCK3) ในอาหารที่ปราศจากสารต้นตอไนโตรเจนซึ่งปรากฏว่ามีความขุ่นสูงสุดเป็น 130 Klett unit มีค่า ARA สูงสุดเท่ากับ 6.5 ไมโครโมลของ เอทีเอ็นต่อมิลลิกรัมโปรตีนต่อชั่วโมง และมีจำนวนเซลล์ที่มีชีวิตสูงสุด 1.5×10^8 เซลล์ต่อมิลลิลิตร เป็นที่น่าสังเกตว่ารูปแบบการตรึงไนโตรเจนของ TF23(pCK3) ในอาหารที่ไม่มีสารต้นตอไนโตรเจนแตกต่างจากของ WT ในอาหารชนิดเดียวกัน คือเมื่อค่า ARA เพิ่มขึ้นสูงสุดแล้วอัตราการลดลงของค่า ARA ใน TF23(pCK3) จะลดลงน้อยกว่าใน WT

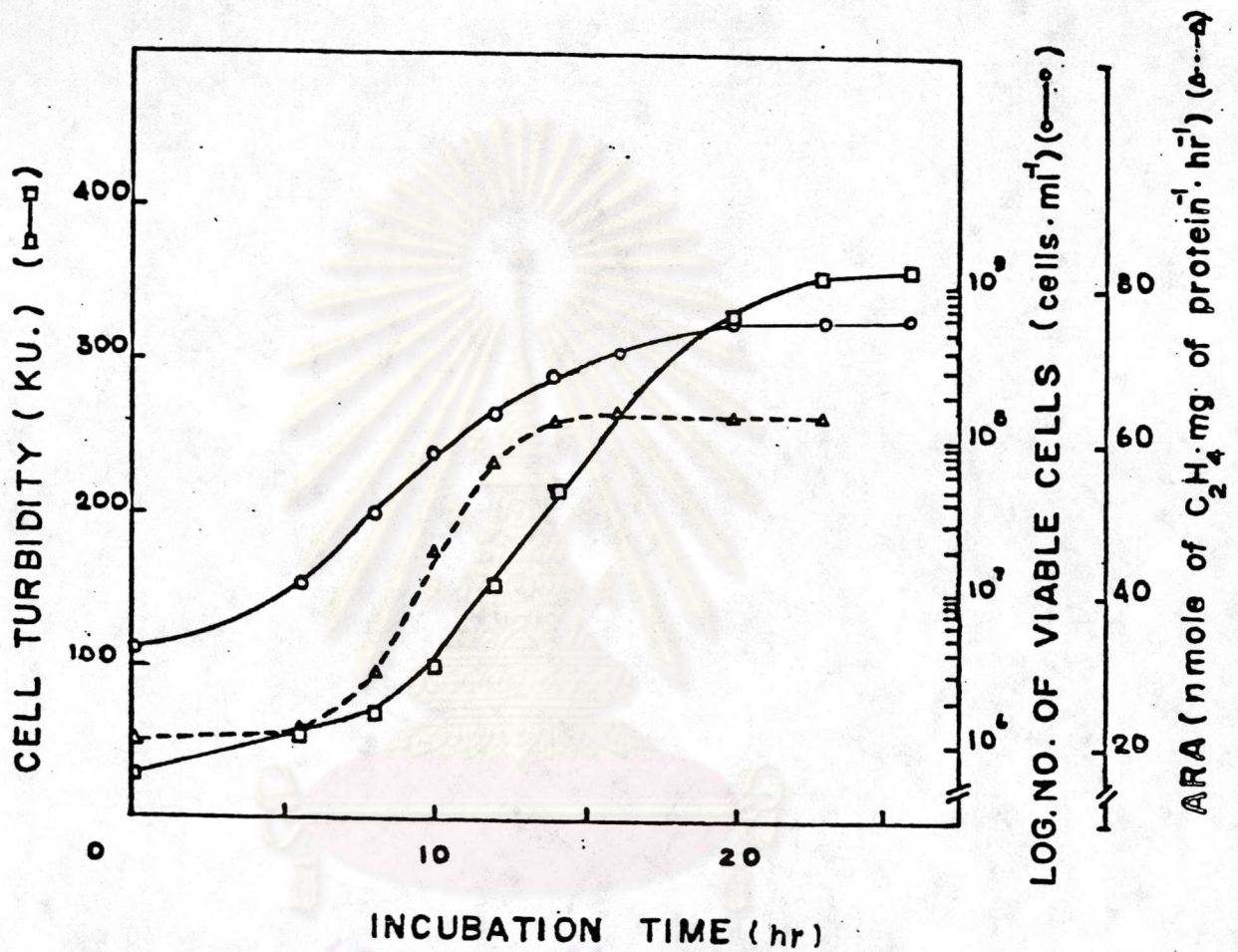
ในอาหารที่มี Ammonium acetate 15 มิลลิโมลาร์เป็นสารต้นตอไนโตรเจน TF23(pCK3) สามารถเจริญได้ความขุ่นสูงสุดเป็น 360 Klett unit มีจำนวนเซลล์ที่มีชีวิตสูงสุด 6×10^8 เซลล์ต่อมิลลิลิตร มีค่า ARA สูงสุด 63 นาโนโมลของ เอทีเอ็นต่อมิลลิกรัมโปรตีนต่อชั่วโมง (รูปที่ 17) และพบว่า Doubling time ของ TF23(pCK3) ในอาหารทั้งสองชนิดมีค่ามากกว่า WT เล็กน้อย (ตารางที่ 9)

3.4 การแยก Derepressed mutants ของ TF 23 (pCK3) โดยการกลายพันธุ์ด้วย NTG

เนื่องจากทรานส์ฟอร์มแมนท์ด้านคานามัยซินได้ต่ำมาก กอปรกับมีค่า ARA ในอาหารที่มีสารต้นตอไนโตรเจนเพียง 1% ของค่า ARA ของ WT ในอาหารที่ไม่มีสารต้นตอไนโตรเจน จึงได้กลายพันธุ์ TF23(pCK3) ด้วย NTG เพื่อเลือกมิวแทนท์ที่มีแอกติวิตีของ เอ็นไซม์ไนโตรซิเนสสูงขึ้น โดยการเลือกมิวแทนท์ที่มีความสามารถในการด้านคานามัยซินสูงขึ้น ในงานวิจัยของ C. Kennedy และ M.H. Drummond ปี ค.ศ. 1985 ได้โคลน pCK3 เข้าสู่ Azotobacter และพบว่าสามารถด้านคานามัยซินได้ 1 ไมโครกรัมต่อมิลลิลิตร ดังนั้นจึงเลือก Derepressed mutants จากความสามารถในการด้านคานามัยซิน 1 ไมโครกรัมต่อมิลลิลิตร แต่ไม่สามารถด้านคานามัยซิน 10 ไมโครกรัมต่อมิลลิลิตร



รูปที่ 16 รูปแบบของความขุ่น จำนวนเซลล์ที่มีชีวิต และแอกติวิตีจำเพาะของอะเซทิลโครีคัยนของ TF23(pCK3) ในอาหารที่ปราศจากสารต้นตอไนโตรเจน และมี 1% กลูโคสเป็นสารต้นตอคาร์บอน เขย่าที่ 30 องศาเซลเซียส ด้วยความเร็ว 150 รอบต่อนาที



รูปที่ 17 รูปแบบของความขุ่น จำนวนเซลล์ที่มีชีวิต และแอกติวิตีจำเพาะของอะเซทิลีนรีดักชันของ TF23(pCK3) ในอาหารที่มี Ammonium acetate 15 mM เป็นสารต้นตอไนโตรเจน และมี 1% กลูโคสเป็นสารต้นตอคาร์บอน เขย่าที่ 30 องศาเซลเซียส ด้วยความเร็ว 150 รอบต่อนาที

ตารางที่ ๑ เปรียบเทียบการเจริญของ *A. vinelandii* WT และทรานส์ฟอร์แมนท์สายพันธุ์ TF23(pCK3) ในอาหารที่มีและไม่มีสารต้นตอไนโตรเจน (1)

ชนิดของอาหารและชื่อสายพันธุ์	Doubling Time (2) (hr.)	จำนวนเซลล์ที่มีชีวิตสูงสุด (cell.ml ⁻¹)	แอกติวิตีจำเพาะสูงสุดของอะเซทิลีนรีดักชัน (μmole of C ₂ H ₄ . mg of protein. ⁻¹ hr ⁻¹)
อาหารที่ไม่มีสารต้นตอไนโตรเจน			
WT	3.30	2×10^8	6.7
TF23 (pCK3)	3.40	1.5×10^8	6.5
อาหารที่มีสารต้นตอไนโตรเจน			
WT	2.15	6×10^8	0.0
TF23 (pCK3)	2.30	6×10^8	0.063

(1) เป็นผลสรุปจากรูปที่ 16 และ 17

(2) ค่าของ Doubling time คำนวณได้จากจำนวนเซลล์ที่มีชีวิต

ศูนย์วิทยพัชยากร
จุฬาลงกรณ์มหาวิทยาลัย

จากผิวแทนที่ที่สามารถต้านทานนามัยซิน 1 ไมโครกรัมต่อมิลลิลิตร จำนวนประมาณ 4,000 โคโลนี ผิวแทนที่ไม่สามารถต้านทานนามัยซิน 10 ไมโครกรัมต่อมิลลิลิตร เพียง 19 โคโลนี และเมื่อผ่านไป 3 passages ก็พบว่าเหลือผิวแทนที่เพียงตัวเดียวที่ยังคงลัมปิดต้านทานนามัยซินอยู่ (การนำเชื้อจากที่เก็บในกลีเซอรอลมาลต์ริคลงจานแม่ครั้งที่ 1 ถือเป็น passage ที่ 1 และ การนำเชื้อจากจานแม่มาลต์ริคต่อบนจานเพาะเชื้อใหม่ถือเป็น passage ที่ 2 เช่นนี้เรื่อยไป) ให้ชื่อสายพันธุ์ที่แยกได้ใหม่นี้ว่า TF239(pCK3^{*}) ข้อที่น่าสังเกตก็คือ TF239(pCK3^{*}) ต้านทานนามัยซิน 1 ไมโครกรัมต่อมิลลิลิตร แต่ไม่สามารถเจริญในอาหารสูตรปรับต่ำที่ Ammonium acetate เป็นสารต้นตอไนโตรเจนจะเจริญได้ในอาหารอุดม (RM medium) ดังตารางที่ 10 ดังนั้นจึงนำ TF239(pCK3^{*}) มาสกัดพลาสมิดและศึกษาสมบัติของพลาสมิด ผลการทดลองแสดงในรูปที่ 18 พลาสมิดที่แยกได้ให้ชื่อว่า pCK3^{*} ซึ่งพบว่ามีขนาด 27 kb และจากการย่อยด้วย EcoRI และ Sali ไม่พบความแตกต่างจาก pCK3

3.5 การสร้างทรานส์ฟอร์มแมนท์ใหม่

3.5.1 การทรานส์ฟอร์มเมชั่น

เคลื่อนพลาสมิดพาหะ pCK3^{*} เข้าสู่ Azotobacter WT ทั้งสองชนิด ด้วยวิธีทรานส์ฟอร์มเมชั่น แยกทรานส์ฟอร์มแมนท์ที่สามารถเจริญบนอาหารแข็งที่มีเตรทตราซัยคลิน 5 ไมโครกรัมต่อมิลลิลิตร และคานามัยซิน 1 ไมโครกรัมต่อมิลลิลิตร โดยมีประสิทธิภาพการทรานส์ฟอร์มเมชั่นของ A. vinelandii และ A. chroococcum เท่ากับ 9.1×10^8 และ 3.2×10^7 เซลล์ต่อกรัมของพลาสมิด ตามลำดับ ได้เลือกทรานส์ฟอร์มแมนท์ของ A. vinelandii และ A. chroococcum คือ TF2(pCK3^{*}) และ TFC2(pCK3^{*}) ตามลำดับ เป็นสายพันธุ์ตัวอย่างเพื่อศึกษาต่อไป

3.5.2 เปรียบเทียบการเจริญระหว่าง WT และทรานส์ฟอร์มแมนท์ในอาหารสูตรปรับต่ำ (MM.) และอาหารอุดม (RM.) medium

เนื่องจาก TF239(pCK3^{*}) ไม่สามารถจะเจริญในอาหารสูตรปรับต่ำได้ ดังนั้นเมื่อแยกพลาสมิด pCK3^{*} ออกมาและทรานส์ฟอร์มใหม่แล้วจึงควร ทดสอบรูปแบบของการเจริญระหว่าง Azotobacter spp. WT กับทรานส์ฟอร์มแมนท์ตัวใหม่คือ TF2(pCK3^{*})



ตารางที่ 10 เปรียบเทียบการเจริญของ A. vinelandii WT และทรานส์ฟอร์มเม้นท์ สายพันธุ์ TF23(pCK3) และมิวแทนท์สายพันธุ์ TF239(pCK3^{*}) ในอาหารสูตรปรับต่ำ และอาหารอุดม

ชื่อสายพันธุ์	การเจริญในอาหารสูตรปรับต่ำ ⁽³⁾	การเจริญในอาหารอุดม ⁽⁴⁾
<u>A. vinelandii</u>		
WT	เจริญ	เจริญ
TF23(pCK3) ⁽¹⁾	เจริญ	เจริญ
TF239(pCK3 [*]) ⁽²⁾	ไม่เจริญ	เจริญ

- (1) TF23(pCK3) = ทรานส์ฟอร์มเม้นท์ ของ A. vinelandii ซึ่งได้จากการนำพลาสมิด pCK3 เข้าเซลล์
- (2) TF239(pCK3^{*}) = มิวแทนท์ที่ได้จากการกลายพันธุ์ ของ TF23(pCK3) ด้วย NTG เพื่อเพิ่มความสามารถในการทนทานต่อยาปฏิชีวนะคานามัยซิน จาก 50 ng.ml^{-1} เป็น $1 \text{ } \mu\text{g.ml}^{-1}$ หรือเพิ่มขึ้นจากเดิม 20 เท่า
- (3) คือ ความสามารถของสายพันธุ์ที่แบ่งตัวในอาหารเหลว (Minimum medium) มี 1 % กลูโคสเป็นสารตั้งต้นคาร์บอน และมี Ammonium acetate 15 mM เป็นสารตั้งต้นไนโตรเจน เขย่าที่ 30^oซ. ด้วยความเร็ว 150 รอบต่อนาทีนาน 2 วัน
- (4) คือ ความสามารถของสายพันธุ์ที่แบ่งตัวในอาหารอุดม มี 1 % กลูโคสเป็นสารตั้งต้นคาร์บอน - มี 0.2 % Nutrient broth และ 0.01 % Yeast extract เขย่าที่ 30^oซ ด้วยความเร็ว 150 รอบต่อนาทีนาน 2 วัน



รูปที่ 18 ผลของการย่อยพลาสมิดดีเอ็นเอ pCK3 และ pCK3* ด้วยเอนไซม์ EcoRI และ SalI บน 0.6% Agarose gel electrophoresis

ช่องที่ 1, 10 คือ Standard λ -DNA ซึ่งย่อยด้วย HindIII

ช่องที่ 2 คือ พลาสมิด ดีเอ็นเอ pCK3

ช่องที่ 3 คือ ชิ้นพลาสมิด ดีเอ็นเอ pCK3 ซึ่งย่อยด้วย EcoRI
ได้ชิ้นขนาด 27 kb

ช่องที่ 4 คือ ชิ้นพลาสมิด ดีเอ็นเอ pCK3 ซึ่งย่อยด้วย SalI
ได้ชิ้นขนาด 27 kb

ช่องที่ 5 คือ ชิ้นพลาสมิด ดีเอ็นเอ pCK3 ซึ่งย่อยด้วย EcoRI
และ SalI

ช่องที่ 6 คือ พลาสมิด ดีเอ็นเอ pCK3*

ช่องที่ 7 คือ ชิ้นพลาสมิด ดีเอ็นเอ pCK3* ซึ่งย่อยด้วย EcoRI
ได้ชิ้นขนาด 27 kb

ช่องที่ 8 คือ ชิ้นพลาสมิด ดีเอ็นเอ pCK3* ซึ่งย่อยด้วย SalI
ได้ชิ้นขนาด 27 kb

ช่องที่ 9 คือ ชิ้นพลาสมิด ดีเอ็นเอ pCK3* ซึ่งย่อยด้วย EcoRI
และ SalI ได้ชิ้นขนาด 19 และ 8 kb

และ TFC2(pCK3^{*}) ผลการทดลองพบว่ารูปแบบการเจริญของ WT และทรานส์ฟอร์มแมนท์ ใน MM. และ RM.. medium มีลักษณะคล้ายกัน แต่การเจริญสูงสุดของ WT ใน MM. และ RM. medium มีค่าต่ำกว่าทรานส์ฟอร์มแมนท์เล็กน้อย โดยที่ A. vinelandii และ A. chroococcum WT มีการเจริญสูงสุดใน MM. เท่ากับ 355 และ 380 Klett unit ตามลำดับ ใน RM.. medium ก็มีการเจริญสูงสุดเป็น 220 และ 205 Klett unit ตามลำดับ สำหรับ TF2(pCK3^{*}) และ TFC2(pCK3^{*}) มีการเจริญสูงสุดใน MM. เท่ากับ 380 และ 390 Klett unit ตามลำดับ และใน RM. medium ก็มีการเจริญสูงสุดเป็น 265 และ 270 Klett unit ตามลำดับ ดังรูปที่ 19 และ 20 น่าสังเกตว่าค่า Doubling time ของ ทรานส์ฟอร์มแมนท์มีค่าเท่า ๆ กับของ WT ทั้งใน MM. และ RM. medium (ตารางที่ 11)

3.5.3 รูปแบบการตรึงไนโตรเจนของทรานส์ฟอร์มแมนท์ที่มีพลาสมิด pCK3^{*}

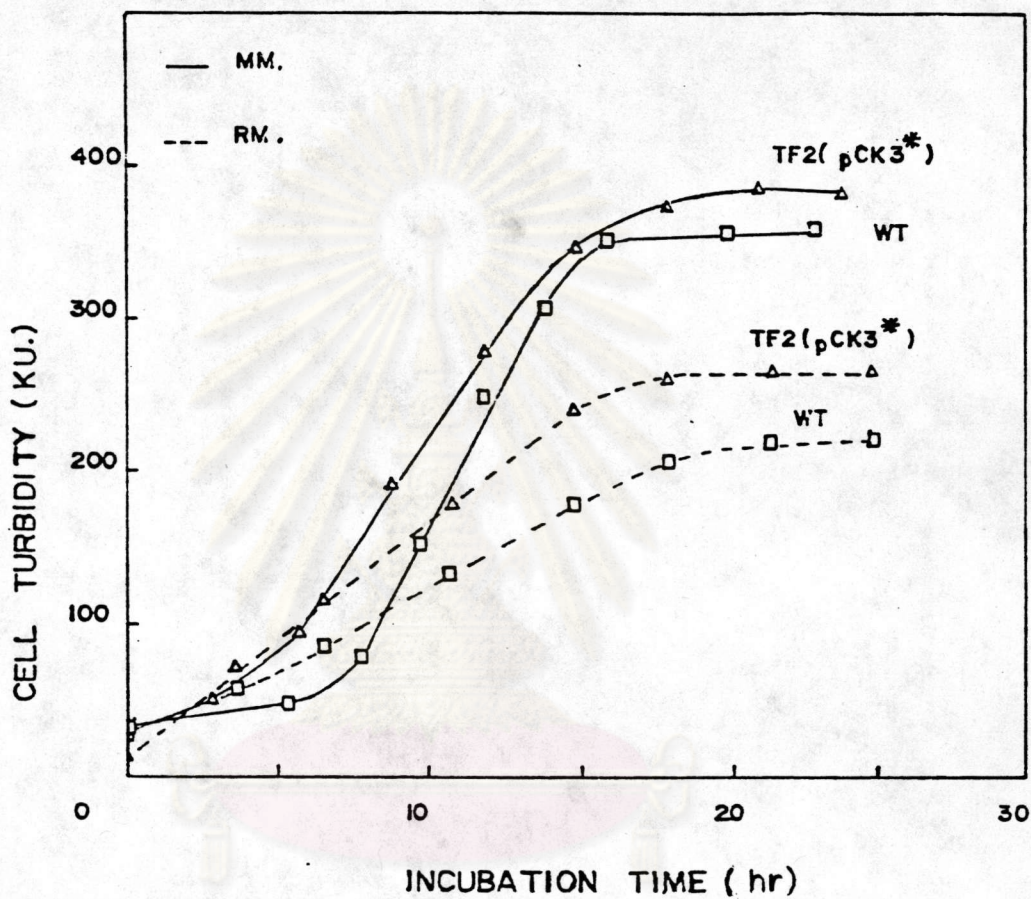
ก. ในอาหารที่ไม่มีสารต้นตอไนโตรเจน

แบคทีเรียสายพันธุ์ TF2(pCK3^{*}) สามารถเจริญในอาหารที่ไม่มีสารต้นตอไนโตรเจนได้ความขุ่นสูงสุดเป็น 175 Klett unit มีจำนวนเซลล์ที่มีชีวิตสูงสุด 2×10^8 เซลล์ต่อมิลลิลิตร ค่า ARA เพิ่มขึ้นตามความขุ่นของเซลล์และมีความสูงที่สุดในช่วงการเจริญที่ระยะการแบ่งตัวทวีคูณเท่ากับ 7.6 ไมโครโมลของเอทิลีนต่อมิลลิกรัมโปรตีนต่อชั่วโมง (รูปที่ 21) ในทำนองเดียวกัน TFC2(pCK3^{*}) เจริญในอาหารที่ไม่มีสารต้นตอไนโตรเจนได้ความขุ่นสูงสุดเป็น 168 Klett unit มีจำนวนเซลล์ที่มีชีวิตสูงสุด 2.5×10^8 เซลล์ต่อมิลลิลิตร และมีความสูงที่สุดเท่ากับ 7.0 ไมโครโมลของเอทิลีนต่อมิลลิกรัมโปรตีนต่อชั่วโมง (รูปที่ 22)

เป็นที่น่าสังเกตว่า ภายหลังจากที่ ARA ของทรานส์ฟอร์มแมนท์ทั้งสองมีความสูงที่สุดแล้ว เมื่อความขุ่นของเซลล์เพิ่มขึ้น ARA จะมีความค่อนข้างคงที่ ซึ่งแตกต่างจาก WT ที่มีความสูง ARA ลดลงเมื่อผ่านระยะที่มีความสูงที่สุดไปแล้ว

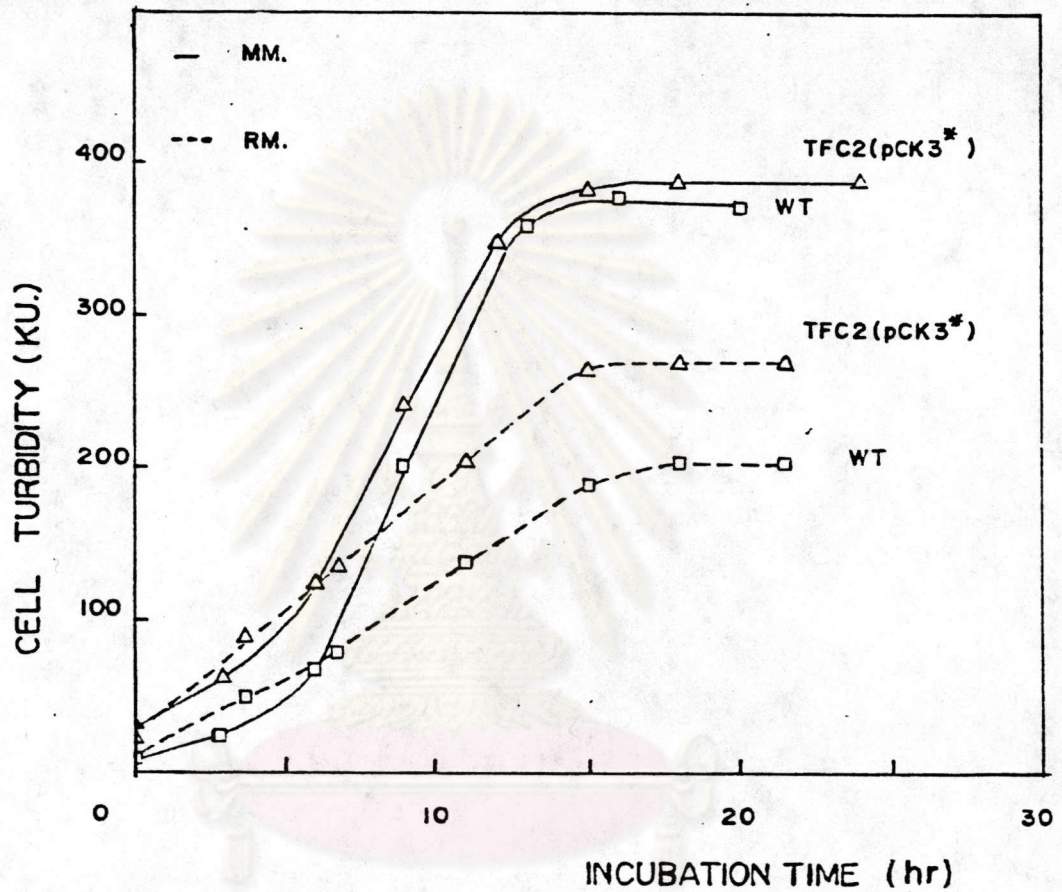
ข. ในอาหารที่มีสารต้นตอไนโตรเจน

TF2(pCK3^{*}) และ TFC2(pCK3^{*}) เจริญในอาหารที่มี Ammonium acetate 15 มิลลิโมลาร์ ได้ความขุ่นสูงสุดเป็น 382 และ 390 Klett unit ตามลำดับ มีจำนวนเซลล์ที่มีชีวิตสูงสุด 6×10^8 และ 6.5×10^8 เซลล์ต่อมิลลิลิตร ตาม



รูปที่ 19

รูปแบบของการเจริญของ *A. vinelandii* WT และทรานส์ฟอร์มแมนท์ สายพันธุ์ TF2(pCK3*) ในอาหารสูตรปรับต่ำ (MM.) และอาหารอุดม (RM.) เขย่าที่ 30 องศาเซลเซียส ด้วยความเร็ว 150 รอบต่อนาที



รูปที่ 20 รูปแบบของการเจริญของ *A. chroococcum* WT และทรานส์ฟอร์มันท์ สายพันธุ์ TFC2(pCK3*) ในอาหารสูตรปรับต่ำ (MM.) และอาหารอุดม (RM.). เขย่าที่ 30 องศาเซลเซียส ด้วยความเร็ว 150 รอบต่อนาที

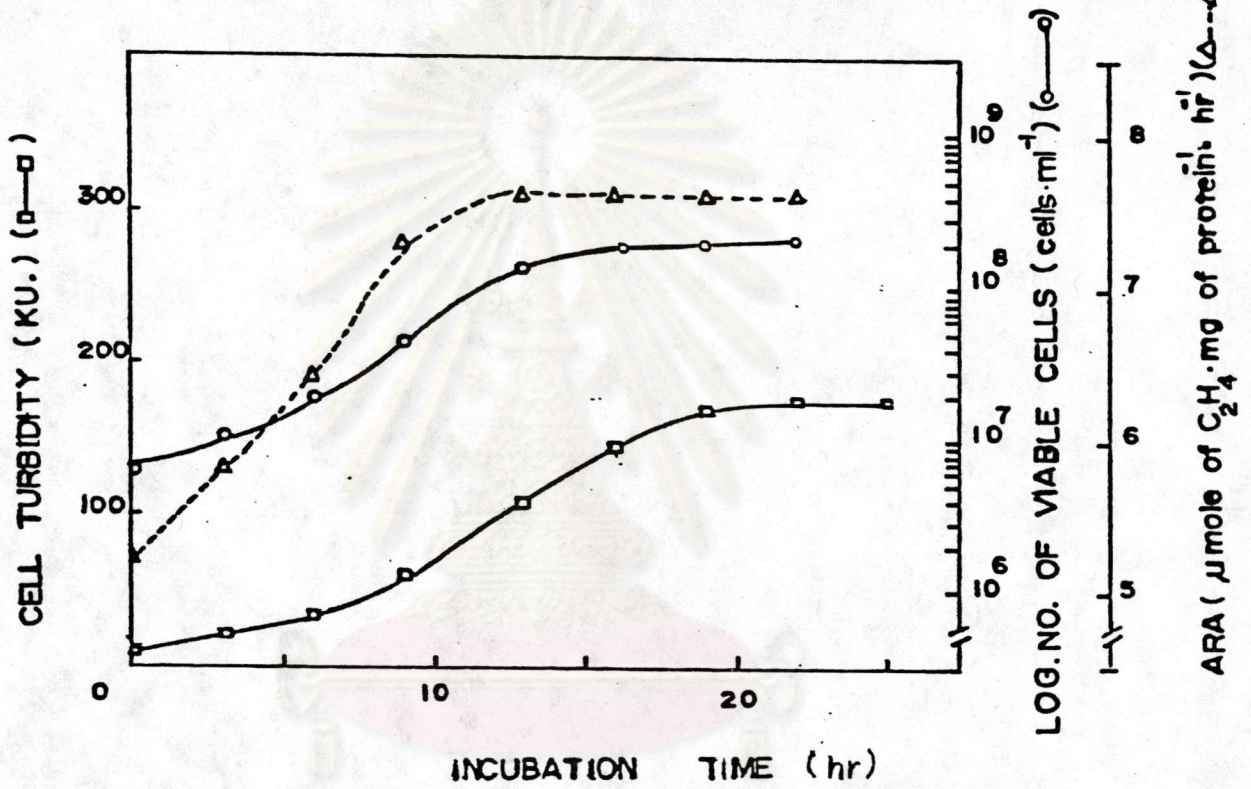
ตารางที่ 11 เปรียบเทียบการเจริญของ *Azotobacter* spp. ระหว่าง WT และทรานส์ฟอร์มเม้นท์
ในอาหารสูตรปรับต่ำและอาหารอุดม (1)

ชื่อสายพันธุ์	การเจริญในอาหารสูตรปรับต่ำ		การเจริญในอาหารอุดม	
	Doubling Time (hr.)	การเจริญสูงสุด (KU.)	Doubling Time (hr.)	การเจริญสูงสุด (KU.)
<u><i>A. vinelandii</i></u>				
WT	2.30	355	8.00	220
TF2 (pCK3 [*]) (2)	2.45	380	7.30	265
<u><i>A. chroococcum</i></u>				
WT	2.15	380	7.30	205
TFC2 (pCK3 [*]) (3)	2.30	390	7.00	270

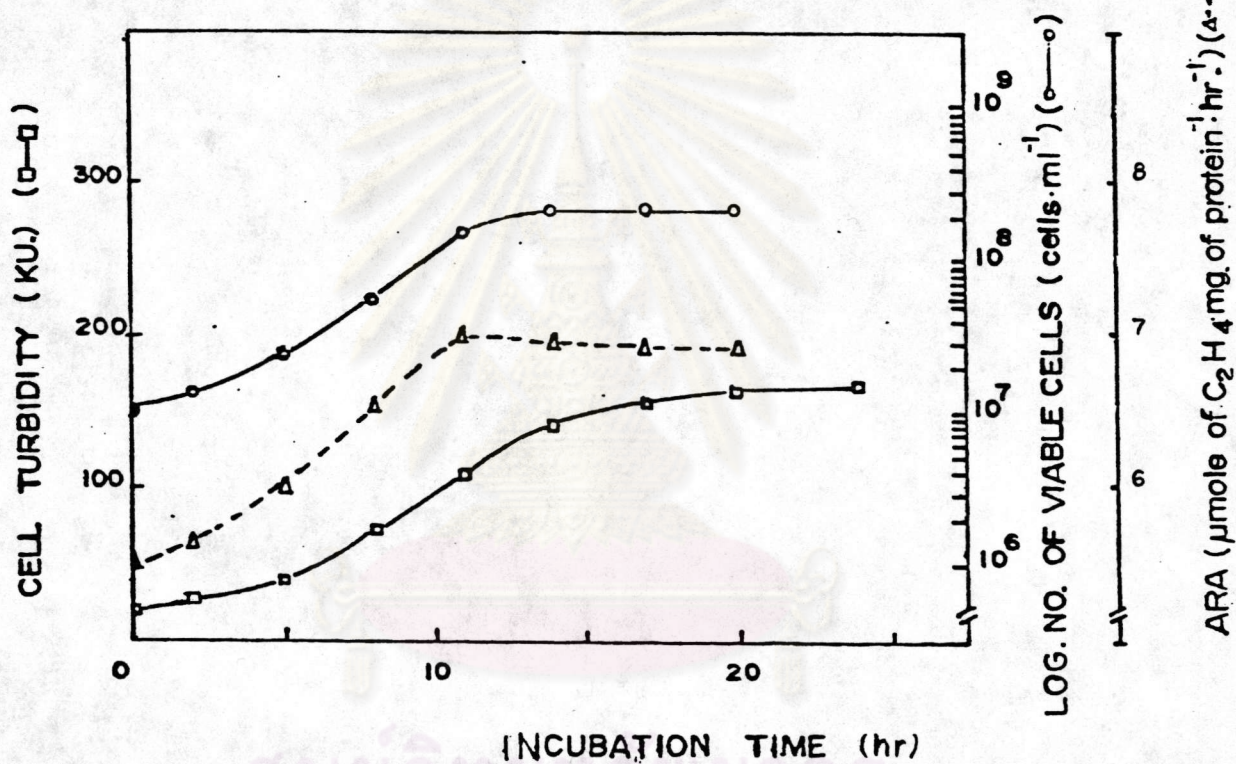
(1) คำนวณจากรูปที่ 19 และ 20

(2) TF2 (pCK3^{*}) = ทรานส์ฟอร์มเม้นท์ของ *A. vinelandii* ซึ่งได้จากการนำ
พลาสมิด pCK3^{*} เข้าเซลล์

(3) TFC2 (pCK3^{*}) = ทรานส์ฟอร์มเม้นท์ของ *A. chroococcum* ซึ่งได้จากการนำ
พลาสมิด pCK3^{*} เข้าเซลล์



รูปที่ 21 รูปแบบของความขุ่น จำนวนเซลล์ที่มีชีวิต และแอกติวิตีจำเพาะของอะเซทิลซิน-
 ไรต์ซินของ TF2(pCK3^{*}) ในอาหารที่ปราศจากสารตั้งต้นไนโตรเจน และมี
 1% กลูโคสเป็นสารตั้งต้นคาร์บอน เขย่าที่ 30 องศาเซลเซียส ด้วยความเร็ว
 150 รอบต่อนาที



รูปที่ 22

รูปแบบของความขุ่น จำนวนเซลล์ที่มีชีวิต และแอกติวิตีจำเพาะของอะเซทิลสเตรดีคัยนของ TFC2 (pCK3^{*}) ในอาหารที่ปราศจากสารต้นตอไนโตรเจน และมี 1% กลูโคส เป็นสารต้นตอคาร์บอน เขย่าที่ 30 องศาเซลเซียส ด้วยความเร็ว 150 รอบต่อนาที

สำคัญ และมีค่า ARA สูงสุดเท่ากับ 0.84 และ 0.78 ไมโครโมลของ เอทิลีนต่อมิลลิกรัม-โปรตีนต่อชั่วโมง ตามลำดับ (รูปที่ 23, 24)

ทรานส์ฟอร์แมนท์ชุดใหม่ที่มีพลาสมิด pCK3* และสามารถต้านทานยาฆ่า-ซินเอ็มซัน 1 ไมโครกรัมต่อมิลลิลิตร ซึ่งสูงกว่าทรานส์ฟอร์แมนท์ชุดเก่า 20 เท่า นั้น เมื่อเจริญในอาหารที่ไม่มีสารต้นตอไนโตรเจนจะมีค่า ARA สูงสุดมากกว่าทรานส์ฟอร์แมนท์ชุดเก่า ประมาณ 13 เท่า

Doubling time ของ TF2(pCK3*) และ TFC2(pCK3*) เมื่อเจริญในอาหารที่ไม่มีสารต้นตอไนโตรเจนจะมีค่ามากกว่า WT เล็กน้อย และมีค่าเท่ากับ WT เมื่อเจริญในอาหารที่มีสารต้นตอไนโตรเจน (ตารางที่ 12, 13)

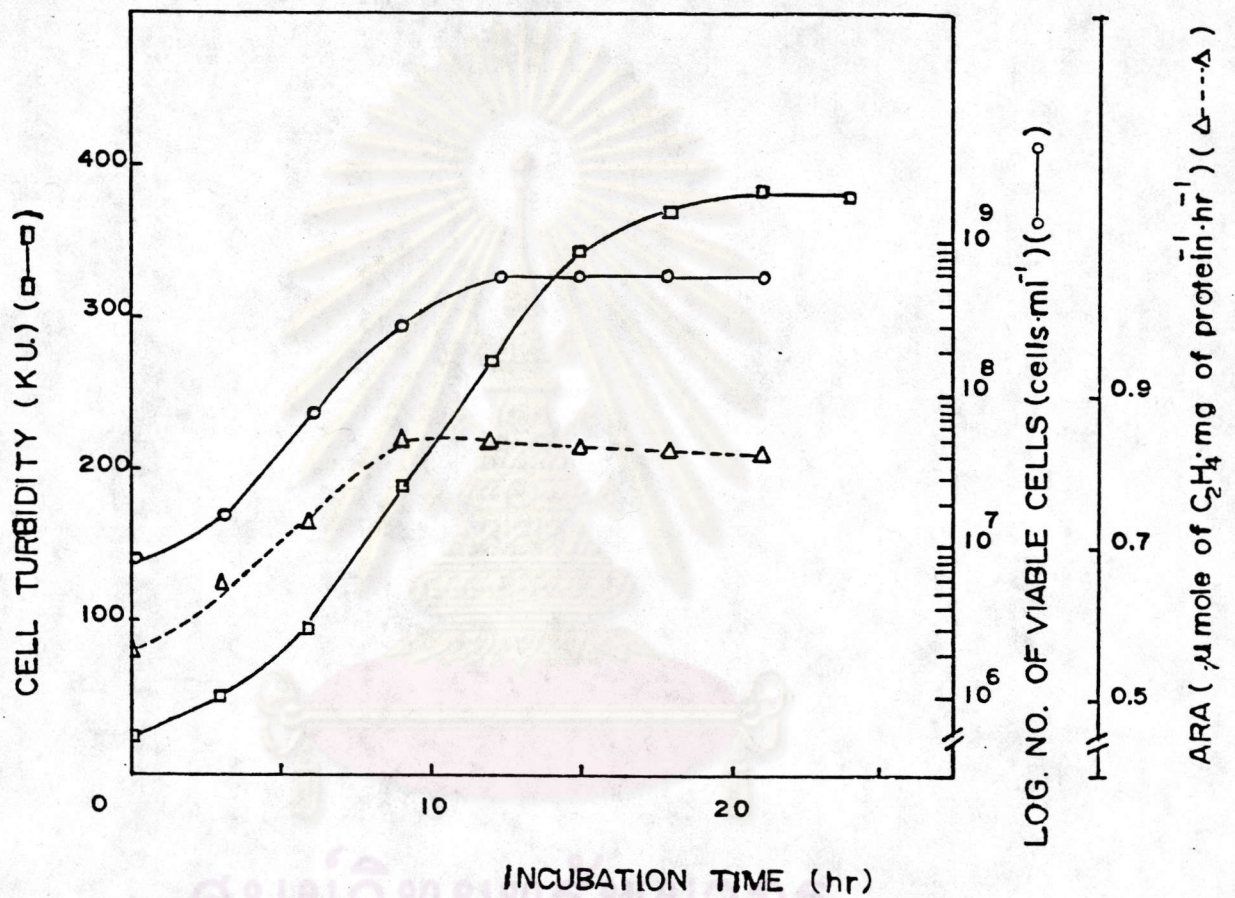
3.6 การยับยั้งแอกติวิตีของไนโตรซิเนส

ผลของอนุพลอัมโมเนียมต่อการตรึงไนโตรเจนของ Azotobacter ๓ 2 ระดับ คือ ผลระยะสั้น (short term effect) จะเกิดการยับยั้ง (inhibit) แอกติวิตีของเอนไซม์ไนโตรซิเนส และผลระยะยาว (long term effect) จะเกิดการกุดตันการถอดรหัสของเอนไซม์ไนโตรซิเนส (Laane และคณะ, 1980) เมื่อมี Ammonium ความเข้มข้นต่ำ ๆ แอกติวิตีของเอนไซม์ไนโตรซิเนสจะถูกยับยั้งไว้ แต่เมื่อเซลล์ได้ใช้ Ammonium นั้นไปแอกติวิตีของเอนไซม์ไนโตรซิเนสก็จะกลับคืนมาได้ (Cejudo และคณะ, 1984)

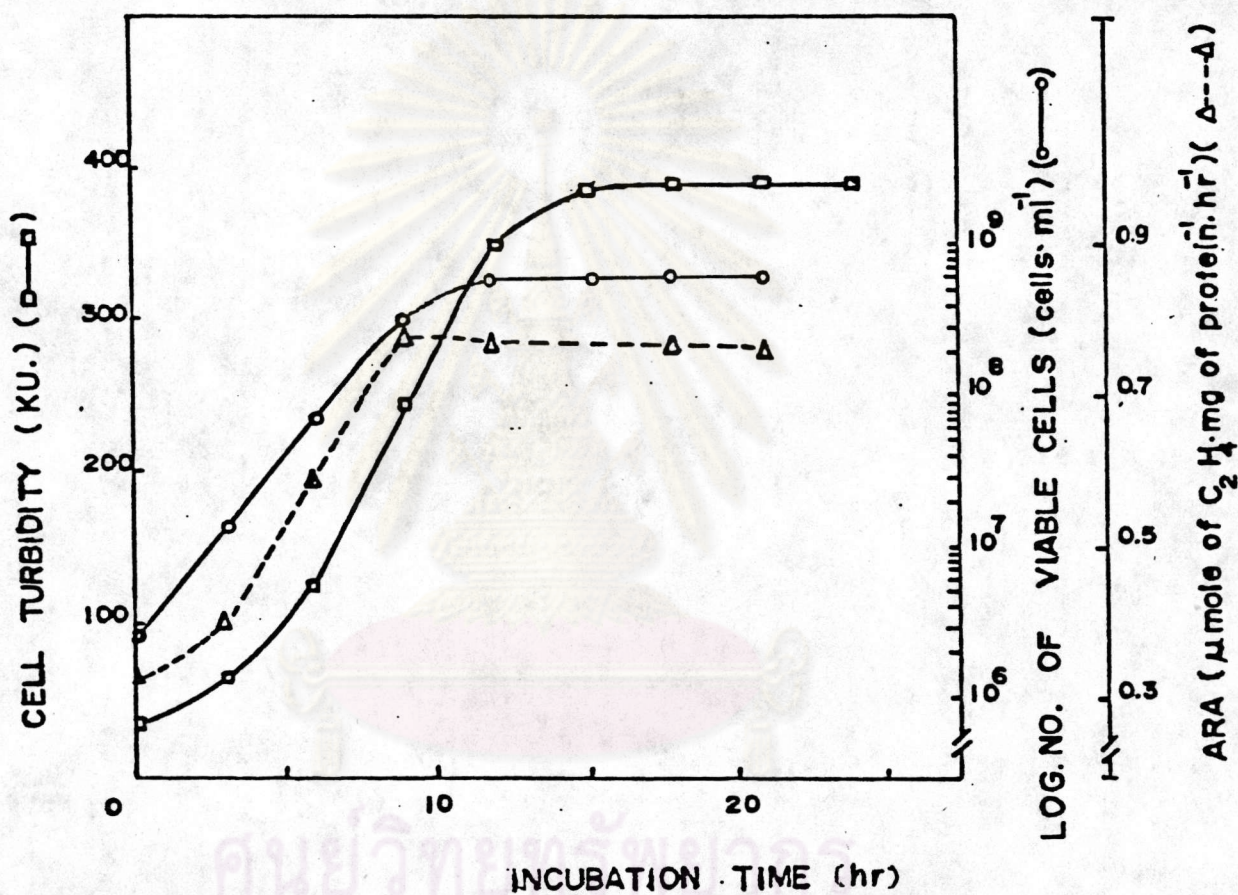
จึงได้ศึกษาการยับยั้งแอกติวิตีของเอนไซม์ไนโตรซิเนสของ A. vinelandii WT และทรานส์ฟอร์แมนท์ TF2(pCK3*) ด้วย Ammonium chloride ความเข้มข้น 0.00, 0.03, 0.05, 0.07, 0.125 และ 0.15 มิลลิโมลาร์ ตามลำดับ ดังนี้

3.6.1 ผลกระทบของ Ammonium chloride ต่อ WT

วัด ARA ของ A. vinelandii ที่เจริญในอาหารที่ไม่มีสารต้นตอไนโตรเจนจนกระทั่งความขุ่นของคัลเจอร์เป็น 100 Klett unit แล้วเติม Ammonium chloride ให้ได้ความเข้มข้นสุดท้ายตามที่กำหนดไว้ นำค่า ARA ที่วัดได้มาคำนวณค่า $1/v$ แล้วทำ Dixon plot จะได้ค่า K_i ของ A. vinelandii WT เท่ากับ 0.0826 มิลลิโมลาร์ของ Ammonium chloride (รูปที่ 25)



รูปที่ 23 รูปแบบของความขุ่น จำนวนเซลล์ที่มีชีวิต และแอกติวิตีจำเพาะของอะเซทิลีนรีดักชันของ TF2(pCK3^{*}) ในอาหารที่มี Ammonium acetate 15 mM เป็นสารต้นตอไนโตรเจน และ 1% กลูโคสเป็นสารต้นตอคาร์บอน เขย่าที่ 30 องศาเซลเซียส ด้วยความเร็ว 150 รอบต่อนาที



รูปที่ 24 รูปแบบของความขุ่น จำนวนเซลล์ที่มีชีวิต และแอกติวิตีจำเพาะของอะเซทิลีนรีดักชันของ TFC2(pCK3^{*}) ในอาหารที่มี Ammonium acetate 15 mM เป็นสารต้นตอไนโตรเจน และ 1% กลูโคส เป็นสารต้นตอคาร์บอน เขย่าที่ 30 องศาเซลเซียส ด้วยความเร็ว 150 รอบต่อนาที

ตารางที่ 12 เปรียบเทียบการเจริญของ A. vinelandii WT และทรานส์ฟอร์มแทนท์
 ลำดับที่ TF23(pCK3) และ TF 2 (pCK3*) (1)

ชนิดของอาหารและยีส่ลำดับที่	Doubling Time ⁽²⁾ (hr)	จำนวนเซลล์ที่มี ชีวิตสูงสุด (cell·ml ⁻¹)	แอกติวิตีจำเพาะสูงสุด ของอะเซทิลซันด์คีน ($\mu\text{mole of C}_2\text{H}_4 \cdot$ $\text{mg of protein}^{-1} \cdot \text{hr}^{-1}$)
อาหารที่ไม่มีสารต้นตอไนโตรเจน			
WT	3.30	2×10^8	6.7
TF23(pCK3) (3)	3.40	1.5×10^8	6.5
TF2 (pCK3*) (4)	3.40	2×10^8	7.6
อาหารที่มีสารต้นตอไนโตรเจน			
WT	2.15	6×10^8	0.0
TF23(pCK3) (3)	2.30	6×10^8	0.063
TF2 (pCK3*) (4)	2.15	6×10^8	0.84

- (1) เป็นผลสรุปจากรูปที่ 6, 8, 16, 17, 21 และ 23
- (2) ค่าของ Doubling time คำนวณได้จากจำนวนเซลล์ที่มีชีวิต
- (3) TF23(pCK3) = ทรานส์ฟอร์มแทนท์ของ A. vinelandii ซึ่งได้จากการนำ
พลาสมิด pCK3 เข้าเซลล์
- (4) TF2 (pCK3*) = ทรานส์ฟอร์มแทนท์ของ A. vinelandii ซึ่งได้จากการนำ
พลาสมิด pCK3* เข้าเซลล์

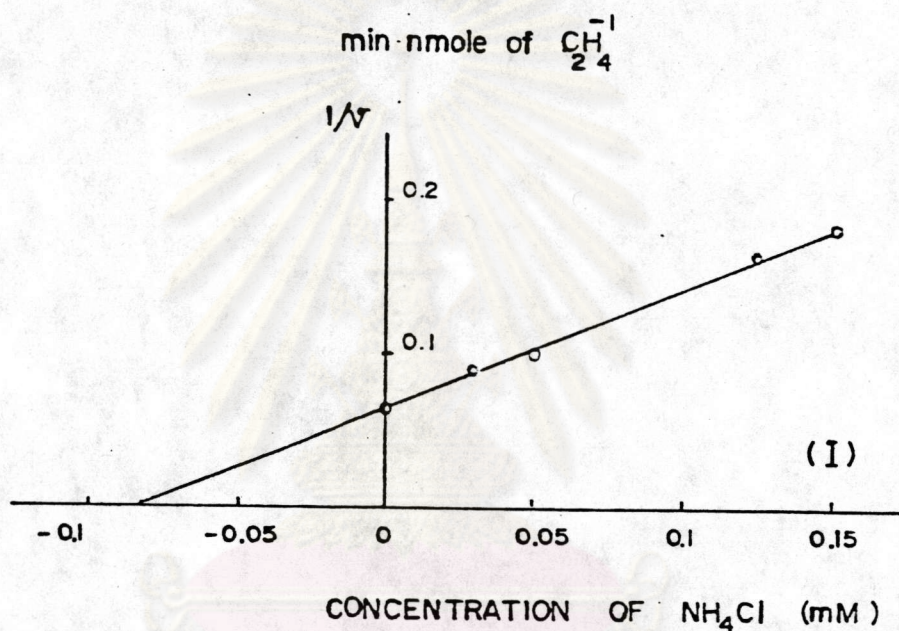
ตารางที่ 13 เปรียบเทียบการเจริญของ A. chroococcum WT และทรานส์ฟอร์แมนท์ สายพันธุ์ TFC2(pCK3*) (1)

ชนิดของอาหารและชื่อสายพันธุ์	Doubling Time (2) (hr)	จำนวนเซลล์ที่มีชีวิตสูงสุด (cell·ml ⁻¹)	แอกทิวิตีค่าเพาะสูงสุดของอะเซทิลีนรีดักชัน ($\mu\text{mole of C}_2\text{H}_4 \cdot \text{mg of protein}^{-1} \cdot \text{hr}^{-1}$)
อาหารที่ไม่มีคาร์บอนไดออกไซด์			
WT	3.30	3×10^8	7.2
TFC2 (pCK3*) (3)	3.40	2.5×10^8	7.0
อาหารที่มีคาร์บอนไดออกไซด์			
WT	2.00	7×10^8	0.0
TFC2 (pCK3*) (3)	2.00	6.5×10^8	0.78

(1) เป็นผลสรุปจากรูปที่ 7, 9, 22 และ 24

(2) ค่าของ Doubling time คำนวณได้จากจำนวนเซลล์ที่มีชีวิต

(3) TFC2 (pCK3*) = ทรานส์ฟอร์แมนท์ของ A. chroococcum ซึ่งได้จากการนำพลาสมิด pCK3* เข้าเซลล์



รูปที่ 25 Dixon plot ของ *A. vinelandii* WT ที่เจริญในอาหารที่ไม่มีสารต้านตอไนโตรเจน มี Ammonium chloride เป็นตัวยับยั้ง โดยที่ v = ปริมาณของเอทีเอ็น ที่ผลิตต่อเวลา มีหน่วยเป็น $\text{nmole of C}_2\text{H}_4 \cdot \text{min}^{-1}$ เขียนสมการความสัมพันธ์เชิงเส้นได้ดังนี้

$$\frac{1}{v} = 0.0665 + 0.803 (I)$$

$$\text{มีค่า } K_i = 0.08 \text{ mM of } \text{NH}_4\text{Cl}$$

3.6.2 ผลกระทบของ Ammonium chloride ต่อทรานส์ฟอร์แมนท์

ทำการทดลองในลักษณะเดียวกับข้อ 3.6.1 จะได้ค่า Ki ของ TF 2 (pCK3*) เท่ากับ 0.1797 มิลลิโมลาร์ของ Ammonium chloride (รูปที่ 26) ซึ่งมีค่าประมาณ 2 เท่าของ WT

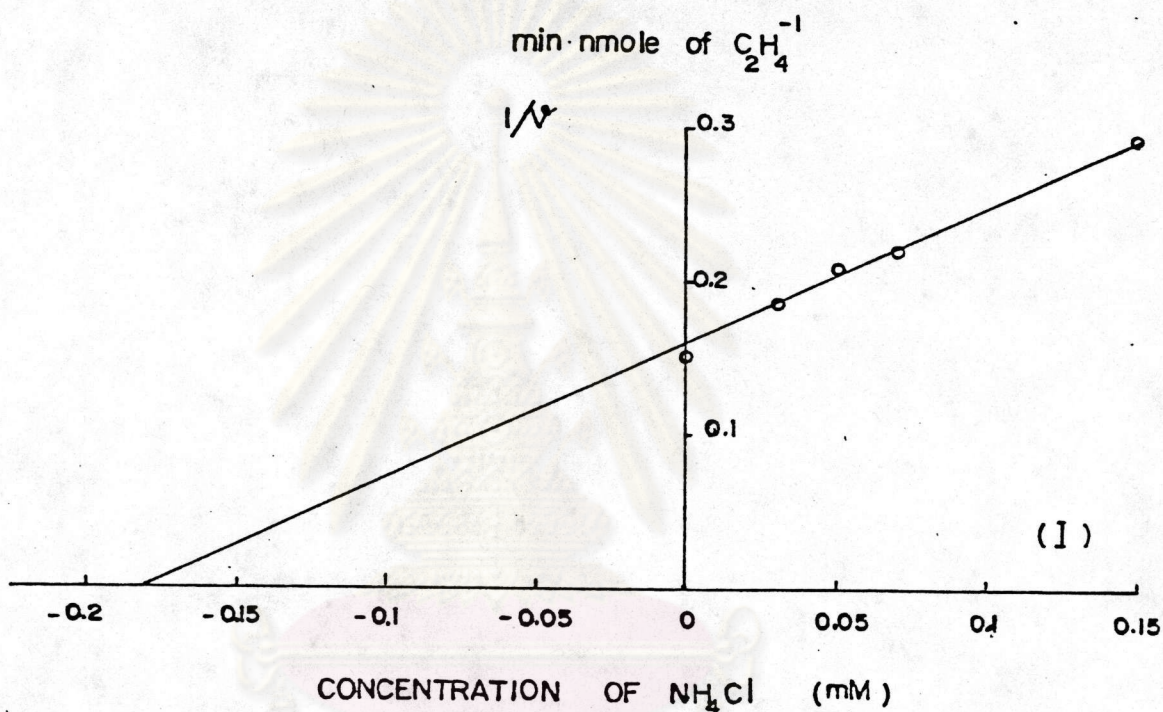
ใช้ทรานส์ฟอร์แมนท์ที่เจริญในอาหารที่มี Glutamate เข้มข้น 10 มิลลิโมลาร์

3.7 ผลกระทบของ Azotobacter ต่ออ้อย

เมื่อแยกได้ทรานส์ฟอร์แมนท์ที่มีผลผลิต pCK3 และพบว่าเป็นสายพันธุ์ที่การถอดรหัสของไนโตรจีเนสไม่ถูกกดตันแล้ว จึงได้เลือกเอา TF23(pCK3). มาศึกษาผลกระทบต้อพืช และเนื่องจาก Azotobacter ที่นำมาทำการวิจัยนี้ได้ถูกแยกจากรากอ้อยในการวิจัยนี้จึงศึกษาผลกระทบของ A. vinelandii WT และ TF23(pCK3) ต้ออ้อย โดยใช้อ้อยพันธุ์ F140 ที่มีอายุประมาณ 7 เดือนเป็นท่อนพันธุ์ ทำการทดลองตามที่ระบุไว้ในข้อ 2.15 ปลุกในสารอาหารที่ไม่มี และ มี Ammonium sulfate 0.4 และ 1.2 มิลลิโมลาร์ เก็บตัวอย่างเมื่ออ้อยมีอายุ 2 เดือน

จากข้อสมันที่ 1 ตารางที่ 14 พบว่าน้ำหนักแห้งของลำต้นและใบอ้อยจากต้นอ้อยที่ปลุกโดยมี Azotobacter ทั้ง 2 สายพันธุ์คือ WT และ TF23(pCK3) มีค่าสูงกว่าที่ปลุกโดยไม่มี Azotobacter อย่างมีนัยสำคัญทางสถิติ ในกลุ่มอ้อยที่ปลุกโดยมี Azotobacter สายพันธุ์ WT ไม่ให้ผลกระทบที่แตกต่างจากสายพันธุ์ TF23(pCK3) แต่อย่างไรก็ตาม ตรงกันข้ามเมื่อปลุกอ้อยในสารอาหารที่เสริม Ammonium sulfate 1.2 มิลลิโมลาร์จะพบว่าอ้อยที่ปลุกโดยมี WT หรือไม่มี Azotobacter อยู่เลยก็ได้น้ำหนักแห้งของลำต้นและใบอ้อยเท่า ๆ กัน แต่ถ้ามีสายพันธุ์ TF23(pCK3) แล้วจะให้ผลแตกต่างกันอย่างมีนัยสำคัญคือเพิ่มสูงกว่าอ้อยที่มีได้ปลุกร่วมกับทรานส์ฟอร์แมนท์ถึงเท่าตัว ผลกระทบดังกล่าวนี้จะไม่เด่นชัดนักถ้าปลุกอ้อยในสารอาหารที่เสริม Ammonium sulfate 0.4 มิลลิโมลาร์

ความสูงของอ้อยที่ได้จากการปลุกโดยมี Azotobacter สูงกว่าไม่มีเล็กน้อย แต่ก็ไม่ก่อให้เกิดผลกระทบที่แตกต่างกันอย่างมีนัยสำคัญ(ข้อสมันที่ 2 ตารางที่ 14) สำหรับข้อมูลทางสถิติเกี่ยวกับค่า ARA (ข้อสมันที่ 3 ตารางที่ 14) ได้ให้ผลสอดคล้องกับสมมติฐานที่ตั้งไว้



รูปที่ 26

Dixon plot ของ TF2(pCK3^{*}) ที่เจริญในอาหารที่ไม่มีสารต้นตอไนโตรเจน
มี Ammonium chloride เป็นตัวยับยั้ง โดยที่ v = ปริมาณของเอทิลีนที่ผลิต
ต่อเวลา มีหน่วยเป็น nmole of $C_2H_4 \cdot \text{min}^{-1}$
เขียนสมการความสัมพันธ์เชิงเส้นได้ดังนี้

$$1/v = 0.1603 + 0.8919 (I)$$

เมื่อ $K_i = 0.18 \text{ mM of } NH_4Cl$

ตารางที่ 14 ผลกระทบของ Azotobacter WT และทรานส์ฟอร์มแมนที่มีพลาสมิด pCK3 ต่อ น้ำหนักแห้ง ความสูง และแอกติวิตีจำเพาะของอะเซทิลีนรีดักชัน ของอ้อยจากการทดลองครั้งที่ 1

Treatment	น้ำหนักแห้งของ ต้นและใบอ้อย (g)	ความสูง ของต้นอ้อย (cm)	ARA (nmole C ₂ H ₄ .g root dry weight ⁻¹ . hr ⁻¹)
N ₀ A ₀	(e) 1.2076 ± 0.5483	(d) 9.4 ± 1.8	0 ± 0.00
N _{0.4} A ₀	(cd) 3.1675 ± 0.5224	(c) 14.4 ± 0.3	0 ± 0.00
N _{1.2} A ₀	(bcd) 4.1847 ± 0.5977	(ab) 18.2 ± 3.6	0 ± 0.00
N ₀ A _{WT}	(d) 2.4724 ± 0.4995	(c) 13.8 ± 1.3	(b) 17 ± 1.5
N _{0.4} A _{WT}	(bcd) 3.6483 ± 0.7214	(bc) 15.6 ± 1.5	(c) 7 ± 1.4
N _{1.2} A _{WT}	(b) 5.4116 ± 1.8188	(a) 20.9 ± 1.1	(d) 3 ± 0.5
N ₀ A _{TF23(pCK3)}	(d) 2.5412 ± 0.6736	(c) 12.6 ± 1.4	(a) 22 ± 4.0
N _{0.4} A _{TF23(pCK3)}	(bc) 4.7456 ± 0.8536	(bc) 15.4 ± 2.2	(b) 14 ± 2.1
N _{1.2} A _{TF23(pCK3)}	(a) 8.3004 ± 1.8763	(a) 19.5 ± 3.0	(c) 7 ± 1.4

ตัวอักษร a, ... , e แสดงถึงกลุ่มที่มีค่าแตกต่างกันอย่างมีนัยสำคัญทางสถิติ

กล่าวคือ ถ้าปลูกอ้อยโดยไม่มี Azotobacter ก็จะไม่พบ ARA จากรากอ้อยนั้น แต่ถ้ามี Azotobacter อยู่ด้วยจะให้ค่า ARA ตรงตามที่ควรจะเป็น น่าสังเกตว่าแม้จากรากอ้อยที่ปลูกในสารอาหารที่ปราศจาก Ammonium sulfate สายพันธุ์ TF23(pCK3) ก็ให้ผลกระทบท่อค่า ARA จากรากอ้อยสูงกว่าของ WT และถ้าเป็นอ้อยที่ปลูกในสารอาหารที่มี Ammonium sulfate 1.2 มิลลิโมลาร์ ผลกระทบท่อจะยิ่งสูงเด่นถึง 2 เท่าตัว

ในภายหลังเมื่อได้ทราบสัฟเฟอร์แมนที่มีพลาสมิด pCK3* ซึ่งมีสมบัติปลดปล่อยการถอดรหัสในโตรีจีนส์ได้ดีกว่าทราบสัฟเฟอร์แมนที่มีพลาสมิด pCK3 คือ TF2(pCK3*) จึงได้นำมาศึกษาผลกระทบท่ออ้อย โดยใช้อ้อยพันธุ์เดิมคือ F140 ทำการทดลองในลักษณะเดียวกับครั้งแรกและเนื่องจากผลกระทบท่อเมื่อปลูกอ้อยในสารอาหารที่มี Ammonium sulfate 0.4 มิลลิโมลาร์นั้นไม่เด่นชัด ในครั้งนี้จึงปลูกในสารอาหารที่ไม่มี และมี Ammonium sulfate 1.2 มิลลิโมลาร์เท่านั้น เก็บตัวอย่างเมื่ออ้อยอายุ $1\frac{1}{2}$ เดือนจากคอสมันท์ที่ 1 ตารางที่ 15 พบว่าน้ำหนักแห้งของลำต้นและใบอ้อยจากต้นอ้อยที่ปลูกโดยมี Azotobacter จะมีค่าสูงกว่าที่ไม่มีอย่างมีนัยสำคัญทางสถิติ และในครั้งนี้อ้อยที่ปลูกโดยมี Azotobacter สายพันธุ์ TF2(pCK3*) มีน้ำหนักแห้งของลำต้นและใบสูงกว่าที่มีสายพันธุ์ WT อย่างมีนัยสำคัญทางสถิติ ผลกระทบท่อเมื่อปลูกอ้อยในสารอาหารที่เสริม Ammonium sulfate 1.2 มิลลิโมลาร์ก็มีลักษณะเดียวกัน เพียงแต่ว่าผลกระทบท่อของ TF2(pCK3*) ที่มากกว่า WT นี้สูงเด่นกว่าเมื่อปลูกอ้อยในสารอาหารที่ไม่มี Ammonium sulfate

ความสูงของอ้อยที่ปลูกโดยมี Azotobacter ในสารอาหารที่มีและไม่มี Ammonium sulfate มีค่าสูงกว่าที่ไม่มี Azotobacter อย่างมีนัยสำคัญทางสถิติ(คอสมันท์ที่ 2 ตารางที่ 15) และในอาหารที่เสริม Ammonium sulfate ผลกระทบท่อของสายพันธุ์ TF2(pCK3*) จะแตกต่างจากสายพันธุ์ WT โดยสูงกว่าอย่างมีนัยสำคัญ ในครั้งนี้ก็ยังคงเป็นไปตามที่คาดหมายไว้คือไม่พบ ARA จากรากอ้อยที่ปลูกโดยไม่มี Azotobacter เลย (คอสมันท์ที่ 3 ตารางที่ 15) และเมื่อมี Azotobacter อยู่ด้วยก็จะให้ค่า ARA ตามที่ควรจะเป็น พบว่าแม้จากรากอ้อยที่ปลูกในสารอาหารที่ปราศจาก Ammonium sulfate สายพันธุ์ TF2(pCK3*) ก็ให้ผลกระทบท่ออ้อยสูงกว่า WT ในทำนองเดียวกับ TF23(pCK3) และถ้าเป็นอ้อยที่ปลูกในสารอาหารที่เสริม Ammonium sulfate 1.2 มิลลิโมลาร์ ผลกระทบท่อจะยิ่งเด่นชัดโดยสูงกว่าผลของ WT ถึง 11 เท่าตัว

ตารางที่ 15 ผลกระทบของ Azotobacter WT และทรานส์ฟอร์แมนท์ที่ผลิต pCK3*
 ต่อน้ำหนักแห้ง ความสูง และแอกติวิตีจำเพาะของอะเซทิลีนรีดักชันของอ้อย
 จากการทดลองครั้งที่ 2

Treatment	น้ำหนักแห้งของ ต้นและใบอ้อย (g)	ความสูง ของอ้อย (cm)	ARA (nmole C ₂ H ₄ . g root dry weight ⁻¹ . hr ⁻¹)
N ₀ A ₀	(f) 0.9865 ± 0.0546	(e) 9.5 ± 0.4	0 ± 0.00
N _{1.2} A ₀	(c) 2.5316 ± 0.1812	(c) 13.9 ± 0.3	0 ± 0.00
N ₀ A _{WT}	(e) 1.5396 ± 0.1174	(d) 11.4 ± 0.3	(b) 24 ± 1.2
N _{1.2} A _{WT}	(b) 3.4473 ± 0.0945	(b) 15.0 ± 0.4	(d) 2 ± 0.2
N ₀ A _{TF2(pCK3*)}	(d) 1.7902 ± 0.1460	(d) 12.1 ± 0.4	(a) 29 ± 0.8
N _{1.2} A _{TF2(pCK3*)}	(a) 8.1614 ± 0.1395	(a) 16.9 ± 0.3	(c) 22 ± 1.2

ศูนย์วิทยุทรัพยากร
 จุฬาลงกรณ์มหาวิทยาลัย